

## บทที่ 5

### การทดสอบและวิเคราะห์ผล

#### 5.1 กล่าวนำ

เนื้อหาในบทนี้จะเป็นการนำเสนอผลที่ได้ทดสอบอุปกรณ์ในการกำหนดทิศทางของจุดศูนย์ที่เราสร้างจริง ซึ่งเราได้ขนาดและรูปร่างของอุปกรณ์มาจากการออกแบบและจำลองผลในบทที่ 4 ในส่วนสุดท้ายเป็นการทดสอบประสิทธิภาพของระบบสายอากาศสวิตช์ลำคลื่นที่มีความสามารถในการกำหนดทิศทางของจุดศูนย์ ในพื้นที่ที่มีการจำลองขึ้น โดยนำผลที่ได้นั้นไปเปรียบเทียบกับระบบที่ใช้สายอากาศแบบรอบทิศทาง

#### 5.2 การทดสอบอุปกรณ์ที่ใช้ในการกำหนดทิศทางของจุดศูนย์

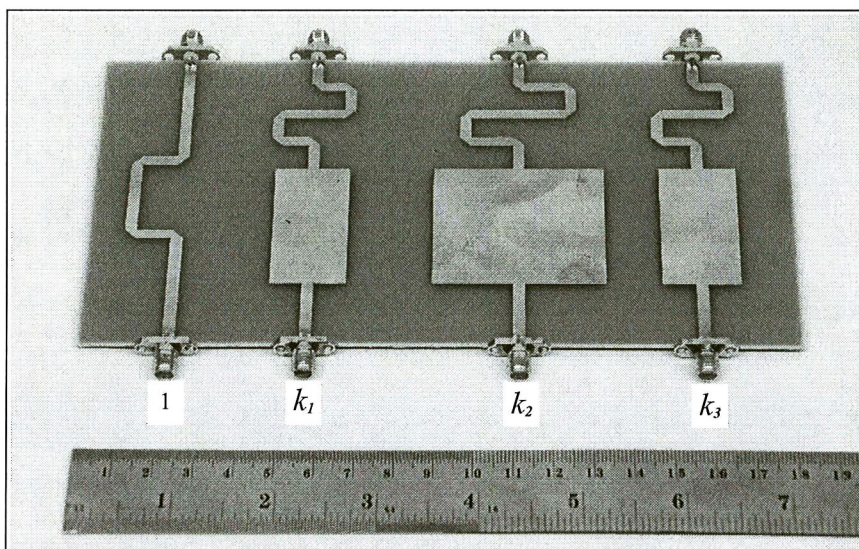
จากบทที่ 4 เราได้ทำการออกแบบและจำลองผลของชุดอุปกรณ์ที่ใช้ในการกำหนดทิศทางของจุดศูนย์ไว้ทั้งหมด 4 ชุด จะเห็นว่าในแต่ละชุดนั้นมีแอมพลิจูดและมุมเฟสที่แตกต่างกันออกไปตามทิศทางของสัญญาณที่เราต้องการและทิศทางของสัญญาณแทรกสอดที่เข้ามา หลังจากนั้น เรานำขนาดและรูปร่างที่ได้มาทำการสร้างอุปกรณ์จริงและทดสอบผลได้ดังนี้

##### 5.2.1 ชุดอุปกรณ์ที่ใช้ในการหันลำคลื่นหลักไปยังทิศทางของสัญญาณที่ต้องการเข้ามาที่ $45^\circ$ และกำหนดทิศทางของจุดศูนย์ที่มีสัญญาณแทรกสอดเข้ามาทาง $135^\circ$ $225^\circ$ และ $315^\circ$

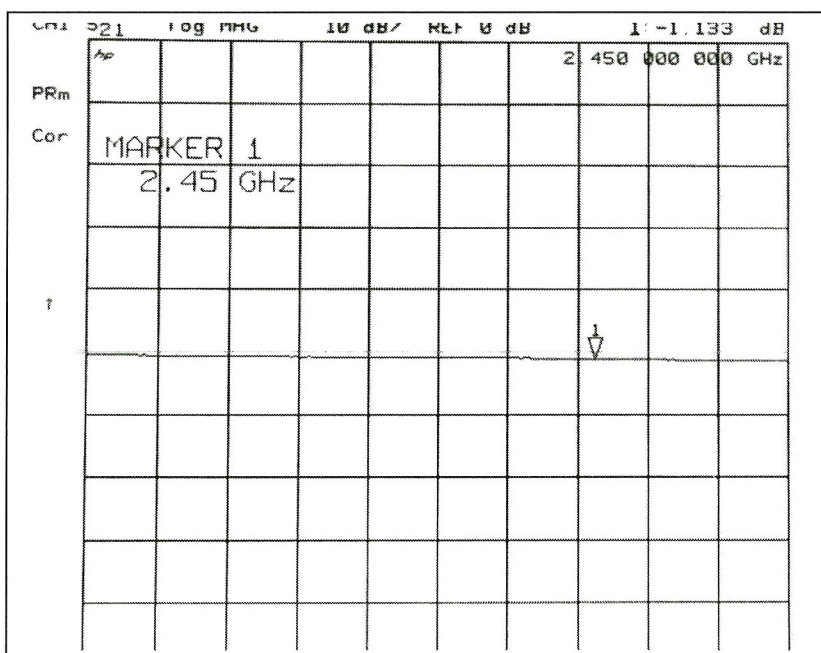
รูปที่ 5.1 แสดงลักษณะของชุดอุปกรณ์ที่สร้างขึ้นจริงเพื่อนำไปใช้ในการหันลำคลื่นหลักไปยังทิศทางที่เราต้องการที่  $45^\circ$  และกำหนดทิศทางของจุดศูนย์ที่มีสัญญาณแทรกสอดเข้ามาทาง  $135^\circ$   $225^\circ$  และ  $315^\circ$  ตามลำดับ โดยที่วงจรที่ 1 นั้นจะใช้ต่อกับพอร์ตขาออกของ modified Butler

matrix ที่ให้ทิศทางของลำคลื่นหลักไปยังทิศทางของสัญญาณที่ต้องการเข้ามาที่  $45^\circ$  โดยที่วงจร  $k_1$  คือ ค่าสัมประสิทธิ์ที่ใช้กำหนดทิศทางของจุดศูนย์ในทิศทางที่  $135^\circ$  วงจร  $k_2$  คือ ค่าสัมประสิทธิ์ที่ใช้กำหนดทิศทางของจุดศูนย์ในทิศทางที่  $225^\circ$  วงจร  $k_3$  คือ ค่าสัมประสิทธิ์ที่ใช้

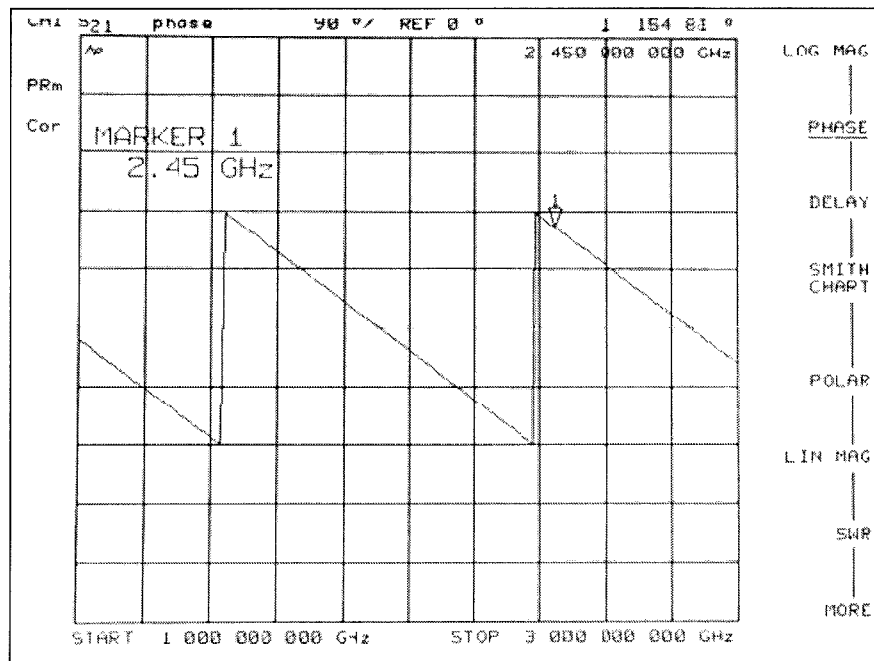
กำหนดทิศทางของจุดศูนย์ในทิศทางที่  $315^\circ$  ตามลำดับ จากนั้นนำอุปกรณ์ที่สร้างไปวัดผลด้วยเครื่องวิเคราะห์วงจรข่ายเพื่อดูแอมพลิจูดและมุมเฟสของอุปกรณ์ได้ดังรูปที่ 5.2 - 5.9



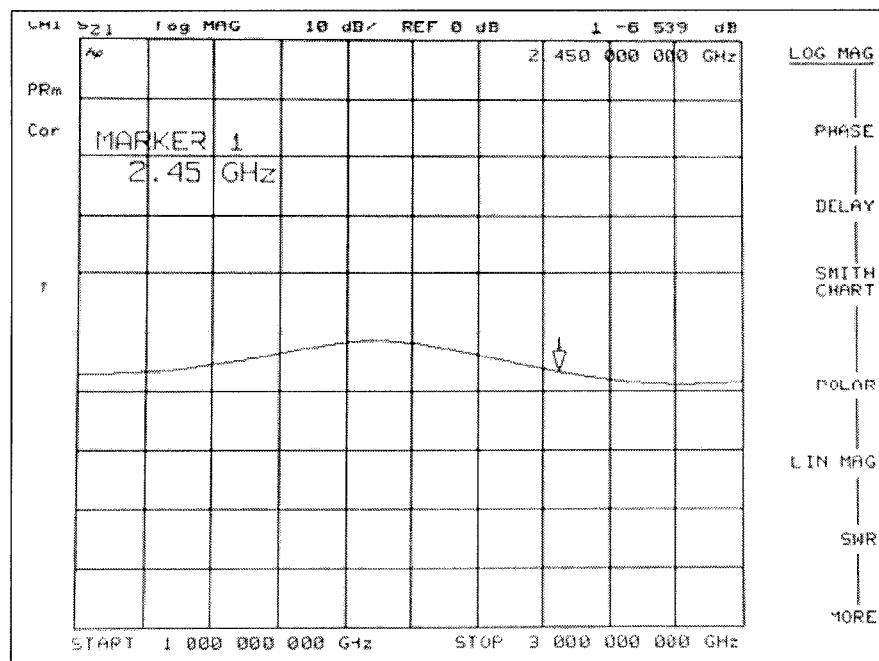
รูปที่ 5.1 ลักษณะของชุดอุปกรณ์ที่สร้างขึ้นจริงเพื่อนำไปใช้ในการห้นค่าคลื่นหลักไปยังทิศทางที่เราต้องการที่  $45^\circ$  และมีสัญญาณแทรกสอดเข้ามาทาง  $135^\circ$   $225^\circ$  และ  $315^\circ$



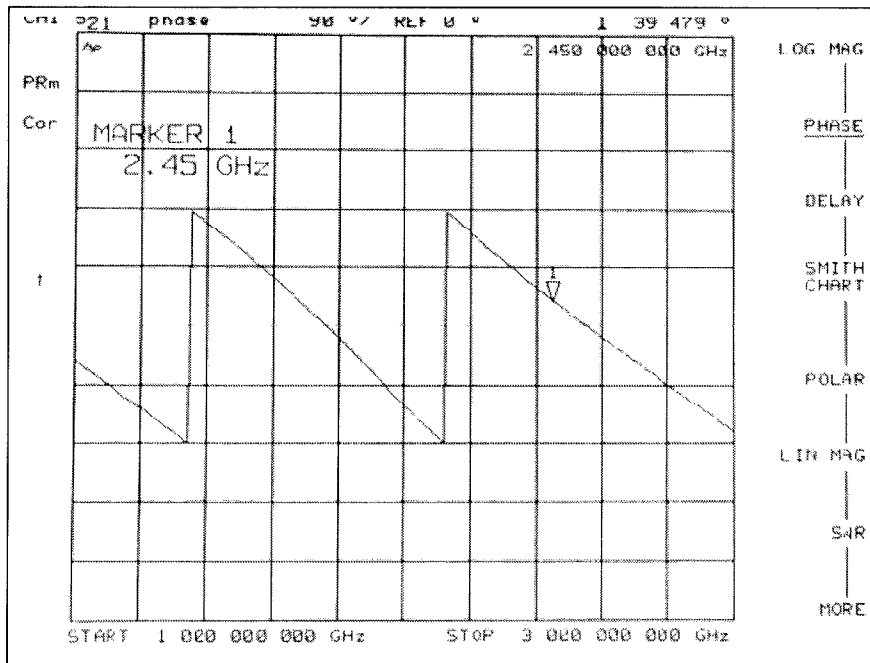
รูปที่ 5.2 แอมพลิจูดของวงจรที่ 1 ในชุดอุปกรณ์ที่ใช้ในการห้นค่าคลื่นหลักไปยังทิศทางที่เราต้องการที่  $45^\circ$  และมีสัญญาณแทรกสอดเข้ามาทาง  $135^\circ$   $225^\circ$  และ  $315^\circ$



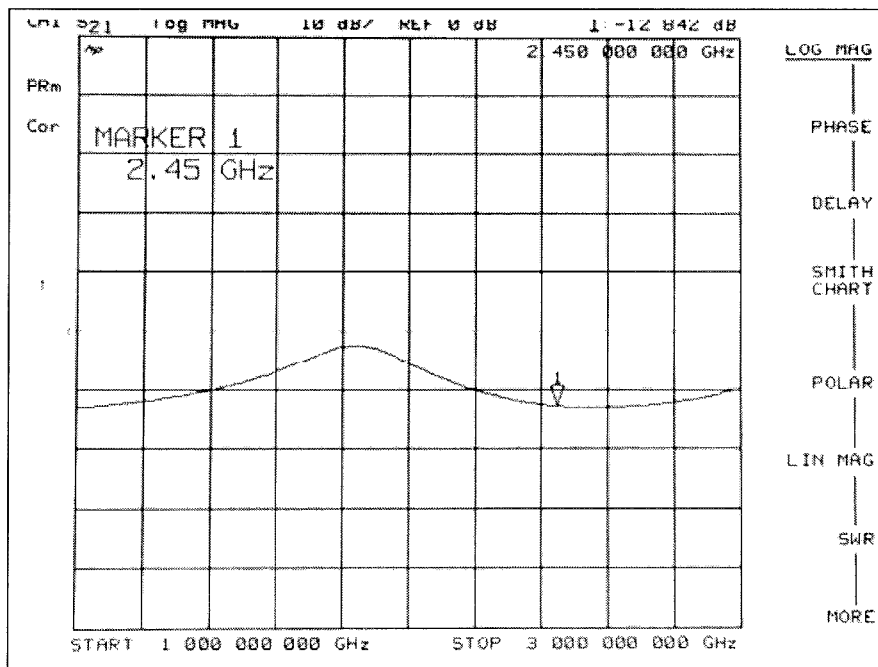
รูปที่ 5.3 มุมเฟสของวงจรที่ 1 ในชุดอุปกรณ์ที่ใช้ในการหาค่าคลื่นหลักไปยังทิศทางที่เราต้องการที่  $45^\circ$  และมีสัญญาณแทรกสอดเข้ามาทาง  $135^\circ$ ,  $225^\circ$  และ  $315^\circ$



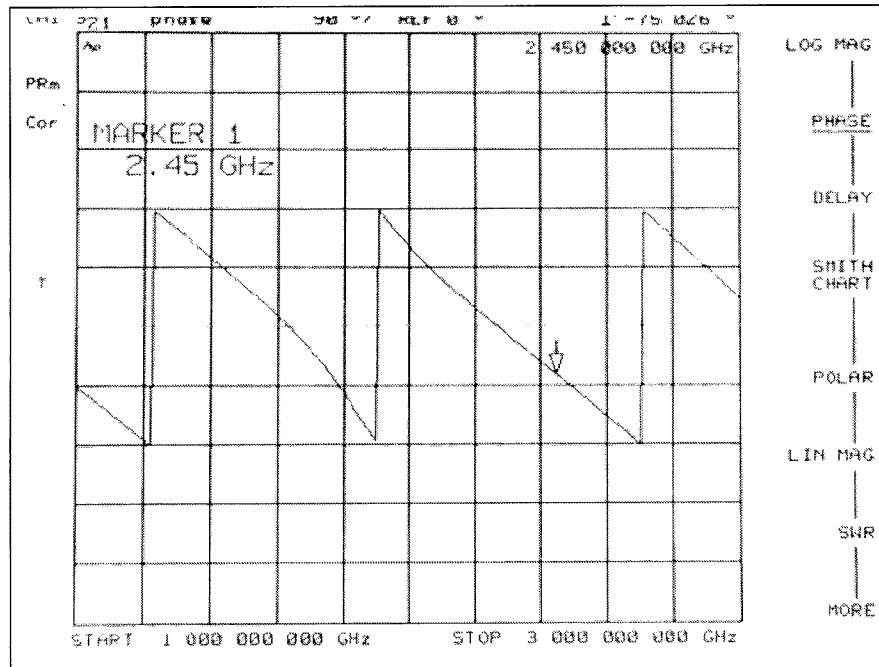
รูปที่ 5.4 แอมพลิจูดของวงจร  $k$ , ในชุดอุปกรณ์ที่ใช้ในการหาค่าคลื่นหลักไปยังทิศทางที่เราต้องการที่  $45^\circ$  และมีสัญญาณแทรกสอดเข้ามาทาง  $135^\circ$ ,  $225^\circ$  และ  $315^\circ$



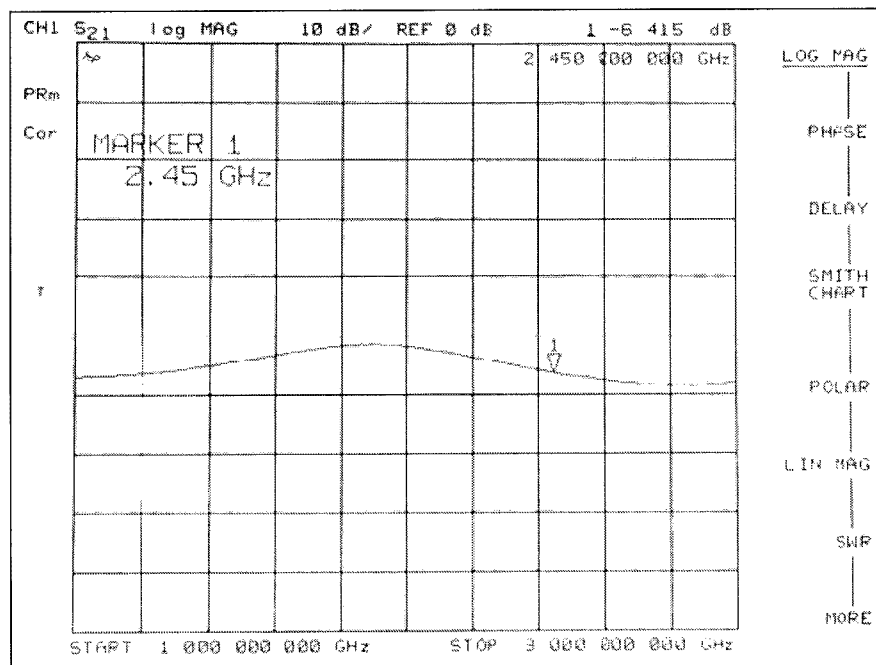
รูปที่ 5.5 มุมเฟสของวงจร  $k_1$  ในชุดอุปกรณ์ที่ใช้ในการหั่นลำคลื่นหลักไปยังทิศทางที่เราต้องการที่  $45^\circ$  และมีสัญญาณแทรกสอดเข้ามาทาง  $135^\circ$   $225^\circ$  และ  $315^\circ$



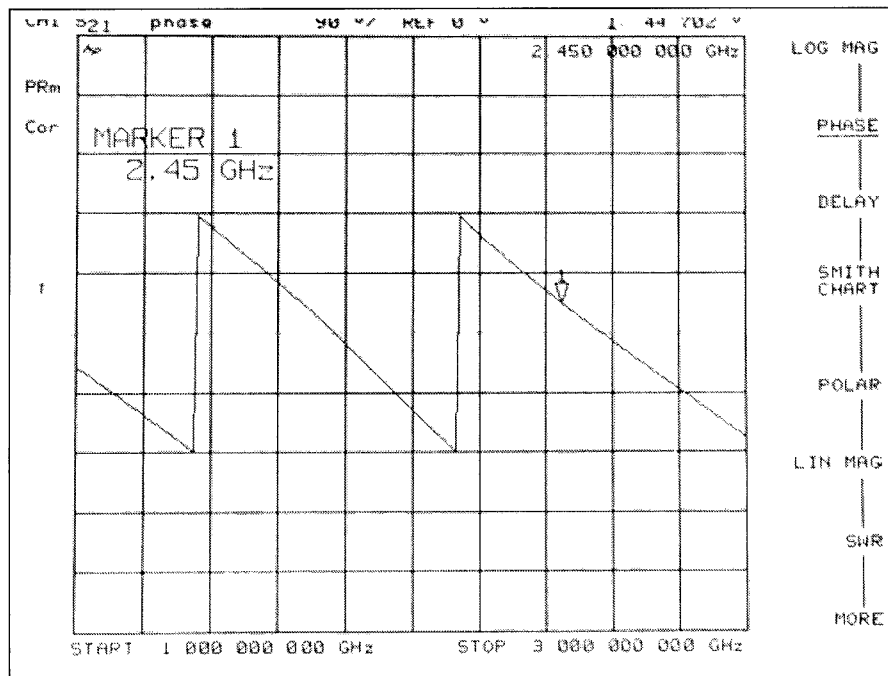
รูปที่ 5.6 แอมพลิจูดของวงจร  $k_2$  ในชุดอุปกรณ์ที่ใช้ในการหั่นลำคลื่นหลักไปยังทิศทางที่เราต้องการที่  $45^\circ$  และมีสัญญาณแทรกสอดเข้ามาทาง  $135^\circ$   $225^\circ$  และ  $315^\circ$



รูปที่ 5.7 มุมเฟสของวงจรถ่าย  $k_2$  ในชุดอุปกรณ์ที่ใช้ในการหาค่าคลื่นหลักไปยังทิศทางที่เราต้องการที่  $45^\circ$  และมีสัญญาณแทรกสอดเข้ามาทาง  $135^\circ$   $225^\circ$  และ  $315^\circ$



รูปที่ 5.8 แอมพลิจูดของวงจรถ่าย  $k_3$  ในชุดอุปกรณ์ที่ใช้ในการหาค่าคลื่นหลักไปยังทิศทางที่เราต้องการที่  $45^\circ$  และมีสัญญาณแทรกสอดเข้ามาทาง  $135^\circ$   $225^\circ$  และ  $315^\circ$



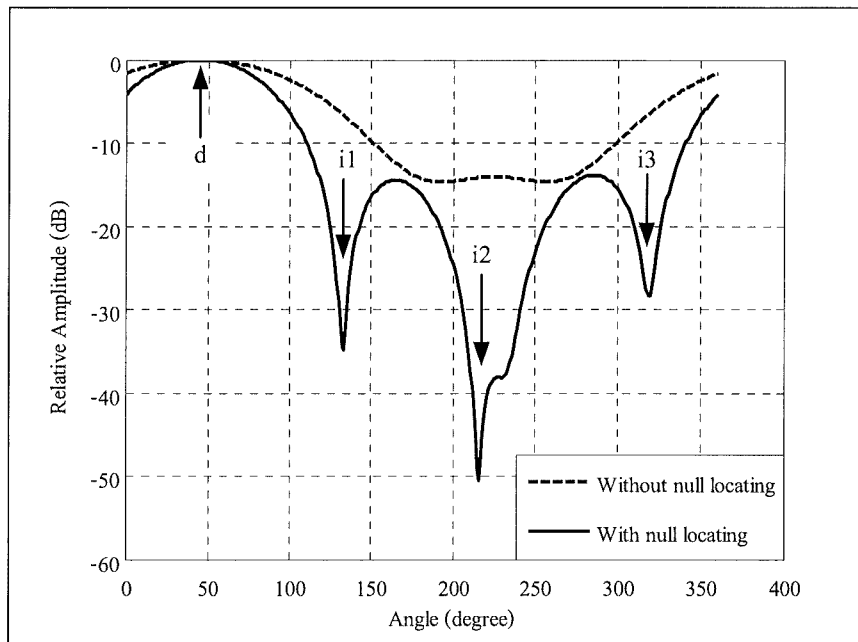
รูปที่ 5.9 มุมเฟสของวงจร  $k_3$  ในชุดอุปกรณ์ที่ใช้ในการหั่นลำคลื่นหลักไปยังทิศทางที่เราต้องการที่  $45^\circ$  และมีสัญญาณแทรกสอดเข้ามาทาง  $135^\circ$   $225^\circ$  และ  $315^\circ$

ตารางที่ 5.1 ค่าแอมพลิจูดและมุมเฟสที่ได้จากการวัดชุดอุปกรณ์ที่ใช้ในการหั่นลำคลื่นหลักไปยังทิศทางที่เราต้องการที่  $45^\circ$  และมีสัญญาณแทรกสอดเข้ามาทาง  $135^\circ$   $225^\circ$  และ  $315^\circ$

อุปกรณ์	ค่าที่ได้จากการวัดอุปกรณ์		ค่าความต่างเฟส (องศา)	จำนวนเชิงซ้อน
	แอมพลิจูด (dB)	มุมเฟส (องศา)		
วงจรถัดที่ 1	-1.133	154.860	0	0.8777+0.0000i
$k_1$	-6.593	39.479	-118.381	-0.2225-0.4118i
$k_2$	-12.842	-75.026	127.114	-0.1375+0.1817i
$k_3$	-6.415	44.702	-113.158	-0.1879-0.4393i

จากรูปที่ 5.2 – 5.9 คือกราฟแอมพลิจูดและมุมเฟสที่ได้จากการวัดชุดอุปกรณ์ทั้งหมด โดยการถ่ายภาพเนื่องจากสายที่ใช้เชื่อมต่อกันระหว่างเครื่องวิเคราะห์วงจรข่ายไปยังคอมพิวเตอร์นั้นเกิดการชำรุดจึงทำให้ไม่สามารถดึงรูปกราฟทั้งหมดออกมาจากเครื่องวิเคราะห์วงจรข่ายได้โดยตรง และสามารถสรุปค่าต่าง ๆ ที่วัดได้ดังตารางที่ 5.1 คือ ค่าแอมพลิจูดและมุมเฟสที่ได้จากการวัดชุดอุปกรณ์ที่ใช้ในการหั่นลำคลื่นหลักไปยังทิศทางที่เราต้องการที่  $45^\circ$

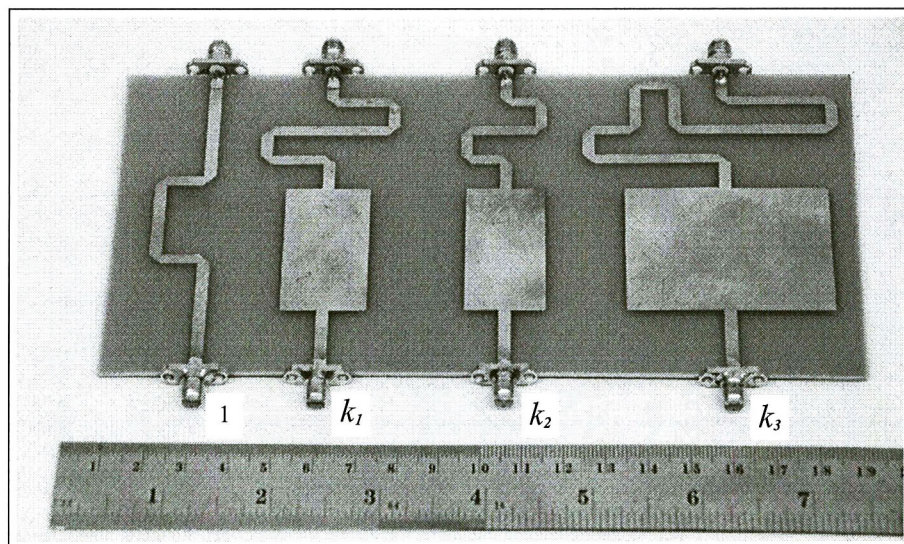
และมีสัญญาณแทรกสอดเข้ามาทาง  $135^\circ$   $225^\circ$  และ  $315^\circ$  ตามลำดับ จากค่าที่ได้ในตารางที่ 5.1 พบว่าค่าแอมพลิจูดที่ได้มีค่าคลาดเคลื่อนไปจากการออกแบบด้วยโปรแกรม CST Microwave Studio เล็กน้อยและค่ามุมเฟสที่ได้จากการวัดนั้นมีค่าไม่ตรงกันกับค่าที่ได้จากการออกแบบ แต่เมื่อเรานำค่าที่ได้มาทำการคำนวณหาค่าต่างเฟสที่ได้ นั้นพบว่าค่าความต่างเฟสที่ได้ในแต่ละวงจร มีความใกล้เคียงกับค่าความต่างเฟสที่ได้จากการจำลองผลในตารางที่ 4.4 จากนั้นเราต้องทำการแปลงค่าที่ได้ให้อยู่ในรูปของจำนวนเชิงซ้อนได้ดังตารางที่ 5.1 เพื่อใช้เป็นค่าสัมประสิทธิ์ ในการกำหนดทิศทางของจุดศูนย์ โดยการนำค่าสัมประสิทธิ์ที่ได้ป้อนกลับในการจำลองผล ด้วยวิธีการกำหนดทิศทางของจุดศูนย์ เพื่อดูแบบรูปการแผ่พลังงานและประสิทธิภาพ ของการกำหนดทิศทางของจุดศูนย์ เมื่อมีสัญญาณที่ต้องการเข้ามาในทิศทางที่  $45^\circ$  และมีสัญญาณ แทรกสอดเข้ามาทาง  $135^\circ$   $225^\circ$  และ  $315^\circ$  จากผลที่ได้พบว่าชุดอุปกรณ์ที่เราได้ทำการสร้างนั้น สามารถนำมาใช้งานได้ เนื่องจากสามารถให้ลาคลับหลักไปยังสัญญาณที่ต้องการ  $d$  เข้ามาใน ทิศทางที่  $45^\circ$  และสามารถกำหนดทิศทางของจุดศูนย์ได้ในทิศทางของมีสัญญาณแทรกสอด  $i$  เข้า มาทาง  $135^\circ$   $225^\circ$  และ  $315^\circ$  แสดงดังรูปที่ 5.10



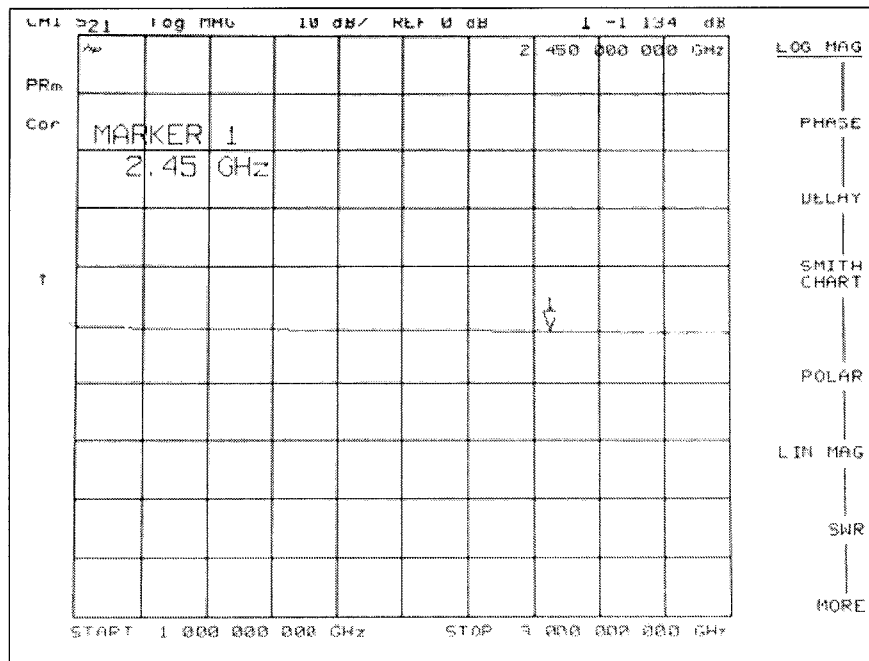
รูปที่ 5.10 แบบรูปการแผ่พลังงานที่ได้จากการวัดค่าสัมประสิทธิ์ของการกำหนดทิศทางของจุดศูนย์ และป้อนกลับในการจำลองแบบด้วยวิธีการกำหนดทิศทางของจุดศูนย์ เมื่อมีสัญญาณที่ต้องการเข้า ในทิศทางที่  $45^\circ$  และสัญญาณแทรกสอดมาจากทิศทางที่  $135^\circ$   $225^\circ$  และ  $315^\circ$

5.2.2 ชุดอุปกรณ์ที่ใช้ในการหั่นลำคลื่นหลักไปยังทิศทางของสัญญาณที่ต้องการเข้ามาที่  $135^\circ$  และกำหนดทิศทางของจุดศูนย์ที่มีสัญญาณแทรกสอดเข้ามาทาง  $45^\circ$   $225^\circ$  และ  $315^\circ$

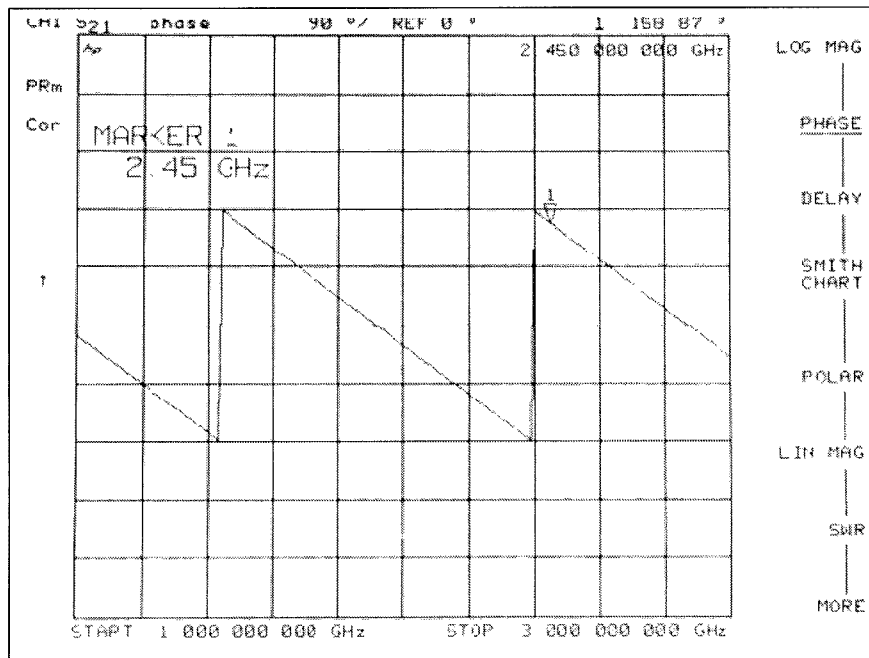
ในรูปที่ 5.11 คืออุปกรณ์ที่สร้างขึ้นมาจริงเพื่อใช้ในการหั่นลำคลื่นหลักไปยังทิศทางของสัญญาณที่ต้องการเข้ามาที่  $135^\circ$  และมีความสามารถในการกำหนดทิศทางของจุดศูนย์ที่มีสัญญาณแทรกสอดเข้ามาทาง  $45^\circ$   $225^\circ$  และ  $315^\circ$  จากรูปวงจรที่ 1 คือวงจรที่ใช้เชื่อมต่อกับพอร์ตขาออกของบัลเลอ์เมตริกซ์ที่ถูกปรับปรุง ที่ให้ทิศทางของลำคลื่นหลักไปยังทิศทางของสัญญาณที่ต้องการเข้ามาที่  $135^\circ$  โดยที่วงจร  $k_1$  คือ ค่าสัมประสิทธิ์ที่ใช้กำหนดทิศทางของจุดศูนย์ในทิศทางที่  $45^\circ$  วงจร  $k_2$  คือ ค่าสัมประสิทธิ์ที่ใช้กำหนดทิศทางของจุดศูนย์ในทิศทางที่  $225^\circ$  วงจร  $k_3$  คือค่าสัมประสิทธิ์ที่ใช้กำหนดทิศทางของจุดศูนย์ในทิศทางที่  $315^\circ$  ตามลำดับ จากนั้นนำอุปกรณ์ที่สร้างไปวัดผลด้วยเครื่องวิเคราะห์ห้วงจรข่าย เพื่อดูแอมพลิจูดและมุมเฟสของอุปกรณ์ได้ผลการวัดดังรูปที่ 5.12 - 5.19



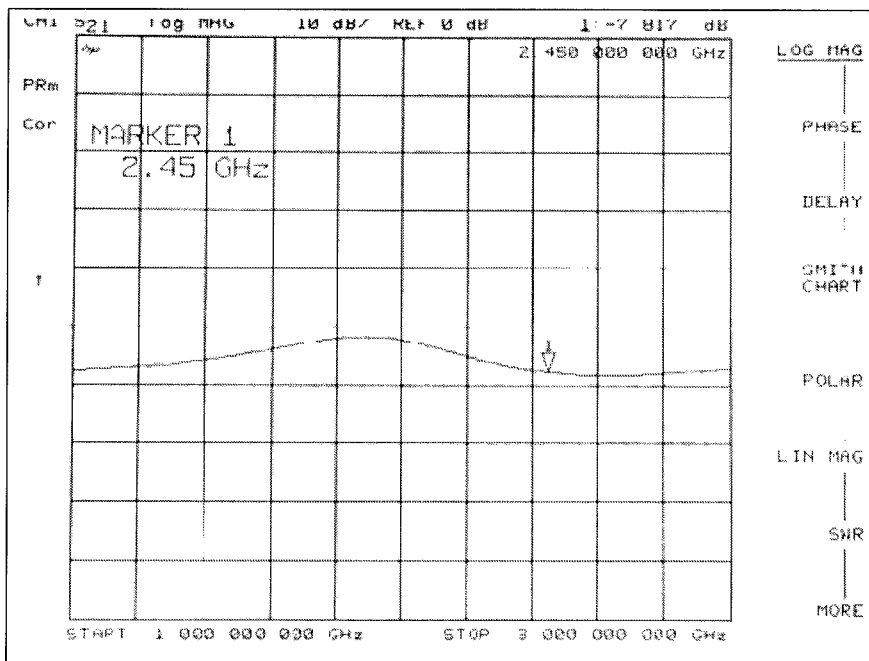
รูปที่ 5.11 ลักษณะของชุดอุปกรณ์ที่สร้างขึ้นจริงเพื่อนำไปใช้ในการหั่นลำคลื่นหลักไปยังทิศทางที่เราต้องการที่  $135^\circ$  และมีสัญญาณแทรกสอดเข้ามาทาง  $45^\circ$   $225^\circ$  และ  $315^\circ$



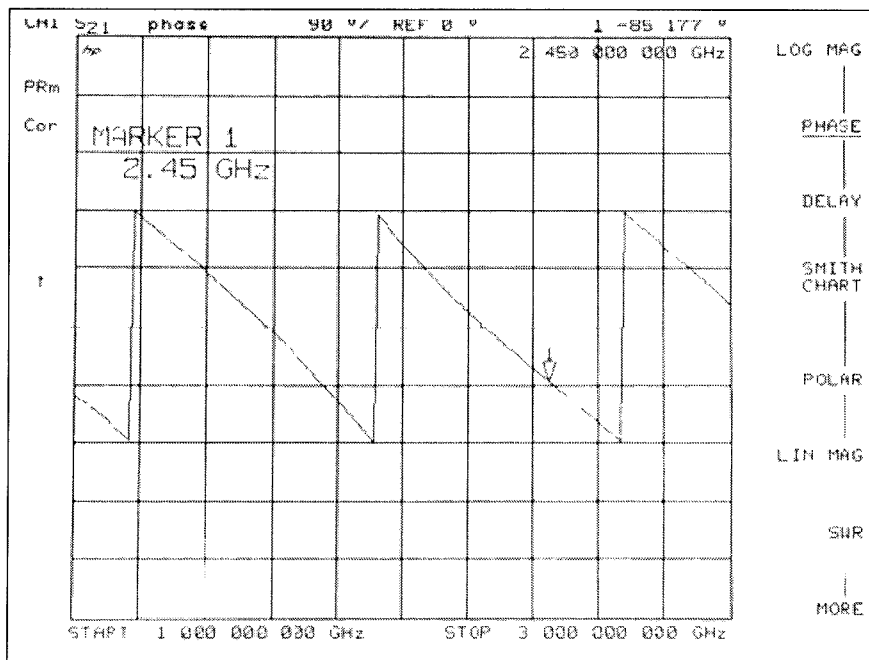
รูปที่ 5.12 แอมพลิจูดของวงจรที่ 1 ในชุดอุปกรณ์ที่ใช้ในการหั่นลำคลื่นหลักไปยังทิศทางที่เราต้องการที่  $135^\circ$  และมีสัญญาณแทรกสอดเข้ามาทาง  $45^\circ$   $225^\circ$  และ  $315^\circ$



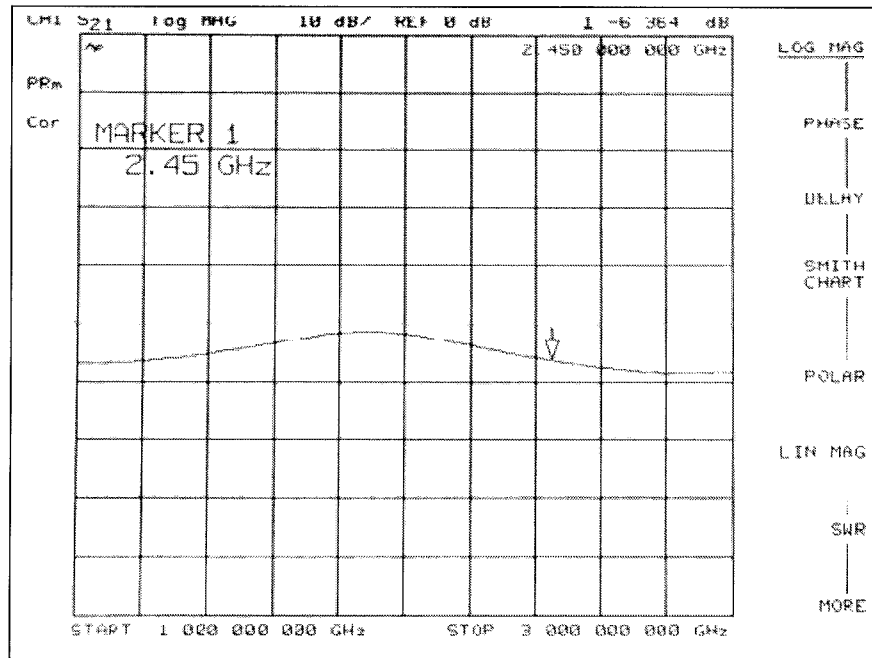
รูปที่ 5.13 มุมเฟสของวงจรที่ 1 ในชุดอุปกรณ์ที่ใช้ในการหั่นลำคลื่นหลักไปยังทิศทางที่เราต้องการที่  $135^\circ$  และมีสัญญาณแทรกสอดเข้ามาทาง  $45^\circ$   $225^\circ$  และ  $315^\circ$



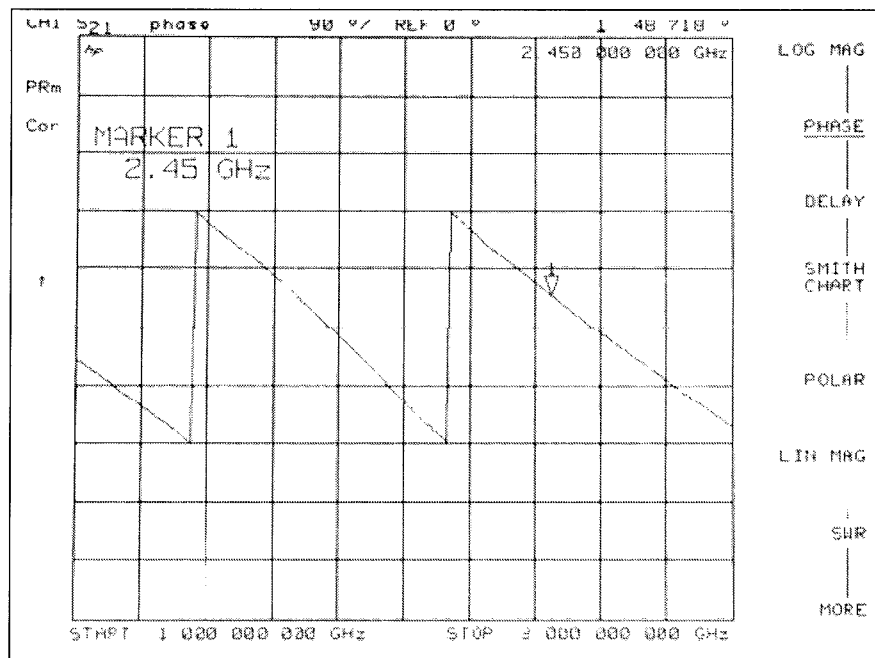
รูปที่ 5.14 แอมพลิจูดของวงจร  $k$ , ในชุดอุปกรณ์ที่ใช้ในการหั่นลำคลื่นหลักไปยังทิศทางที่เราต้องการที่  $135^\circ$  และมีสัญญาณแทรกสอดเข้ามาทาง  $45^\circ$   $225^\circ$  และ  $315^\circ$



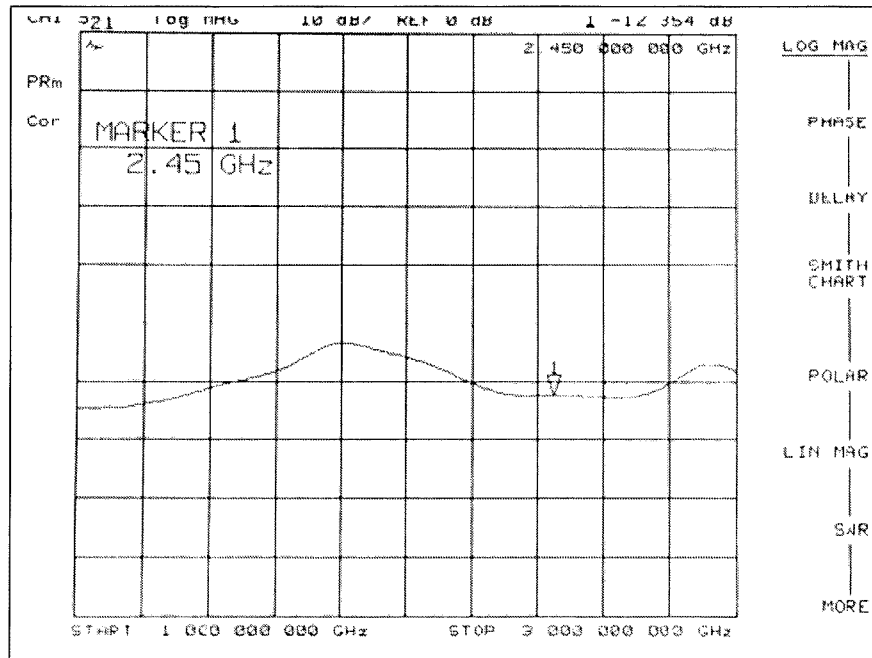
รูปที่ 5.15 มุมเฟสของวงจร  $k$ , ในชุดอุปกรณ์ที่ใช้ในการหั่นลำคลื่นหลักไปยังทิศทางที่เราต้องการที่  $135^\circ$  และมีสัญญาณแทรกสอดเข้ามาทาง  $45^\circ$   $225^\circ$  และ  $315^\circ$



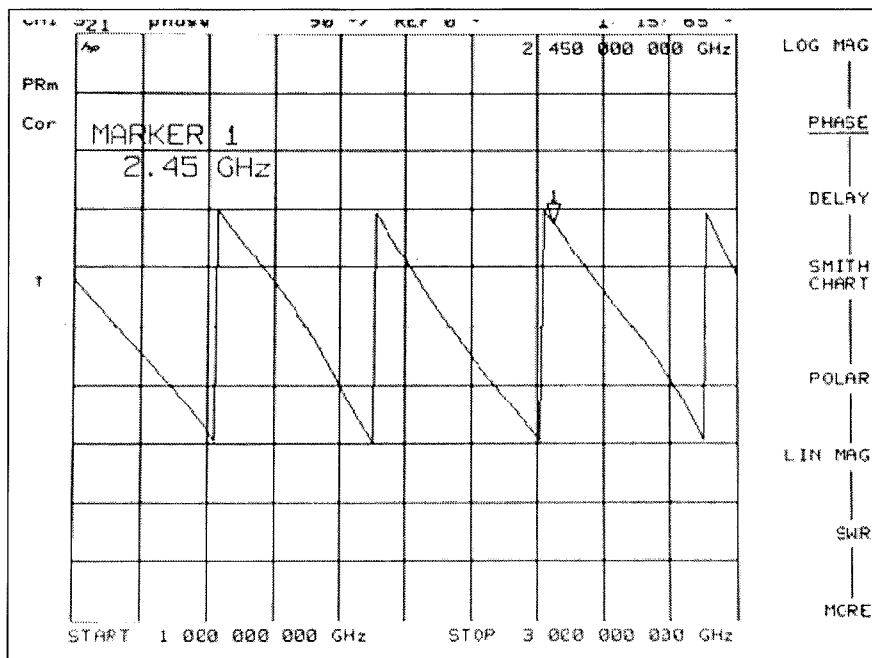
รูปที่ 5.16 แอมพลิจูดของวงจร  $k_2$  ในชุดอุปกรณ์ที่ใช้ในการหั่นลำคลื่นหลักไปยังทิศทางที่เราต้องการที่  $135^\circ$  และมีสัญญาณแทรกสอดเข้ามาทาง  $45^\circ$   $225^\circ$  และ  $315^\circ$



รูปที่ 5.17 มุมเฟสของวงจร  $k_2$  ในชุดอุปกรณ์ที่ใช้ในการหั่นลำคลื่นหลักไปยังทิศทางที่เราต้องการที่  $135^\circ$  และมีสัญญาณแทรกสอดเข้ามาทาง  $45^\circ$   $225^\circ$  และ  $315^\circ$



รูปที่ 5.18 แอมพลิจูดของวงจร  $k_3$  ในชุดอุปกรณ์ที่ใช้ในการหั่นลำคลื่นหลักไปยังทิศทางที่เราต้องการที่  $135^\circ$  และมีสัญญาณแทรกสอดเข้ามาทาง  $45^\circ$   $225^\circ$  และ  $315^\circ$

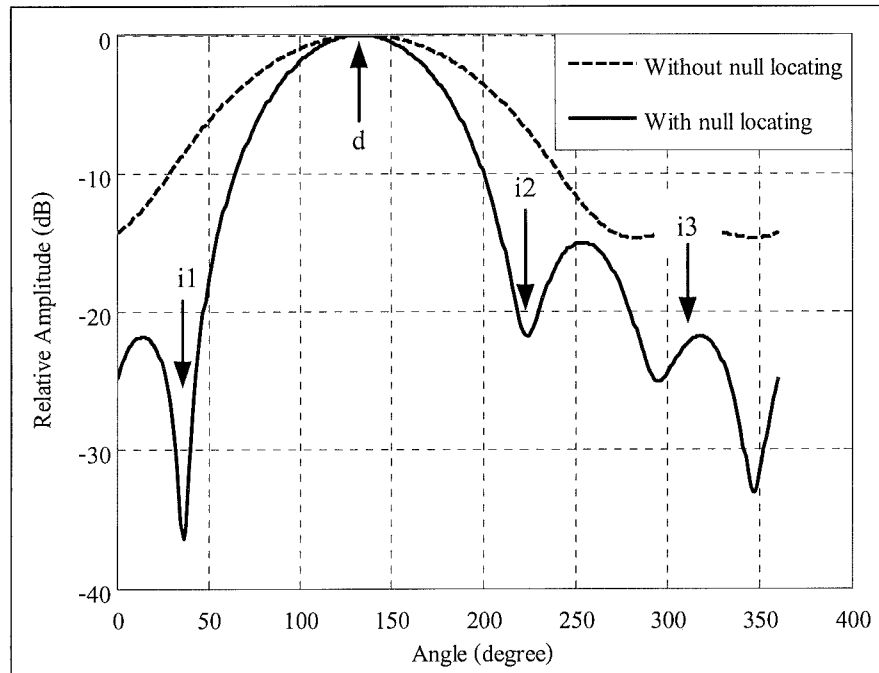


รูปที่ 5.19 มุมเฟสของวงจร  $k_3$  ในชุดอุปกรณ์ที่ใช้ในการหั่นลำคลื่นหลักไปยังทิศทางที่เราต้องการที่  $135^\circ$  และมีสัญญาณแทรกสอดเข้ามาทาง  $45^\circ$   $225^\circ$  และ  $315^\circ$

จากรูปที่ 5.12 – 5.19 คือกราฟแอมพลิจูดและมุมเฟสที่ได้จากการวัดชุดอุปกรณ์ทั้งหมด โดยการถ่ายภาพเนื่องจากสายที่ใช้เชื่อมต่อกันระหว่างเครื่องวิเคราะห์วงจรถ่ายไปยังคอมพิวเตอร์นั้นเกิดการชำรุดจึงทำให้ไม่สามารถดึงรูปกราฟทั้งหมดออกมาจากเครื่องวิเคราะห์วงจรถ่ายได้โดยตรง เราจึงได้สรุปค่าต่างๆที่วัดได้ดังตารางที่ 5.2 คือค่าแอมพลิจูดและมุมเฟสที่ได้จากการวัดชุดอุปกรณ์ที่ใช้ในการหาค่าคลื่นหลักไปยังทิศทางที่เราต้องการที่  $135^\circ$  และสามารถกำหนดทิศทางของจุดศูนย์ในทิศทางของสัญญาณแทรกสอดเข้ามาทาง  $45^\circ$   $225^\circ$  และ  $315^\circ$  ตามลำดับ จากค่าที่ได้ในตารางที่ 5.2 พบว่าค่าแอมพลิจูดที่ได้มีค่าคลาดเคลื่อนไปจากการออกแบบด้วยโปรแกรม CST Microwave Studio เล็กน้อย และค่ามุมเฟสที่ได้จากการวัดนั้นมีค่าไม่ตรงกันกับค่าที่ได้จากการออกแบบ แต่เมื่อเรานำค่าที่ได้มาทำการคำนวณหาค่าต่างเฟสที่ได้ในนั้นพบว่าค่าความต่างเฟสที่ได้ในแต่ละวงจรมีความใกล้เคียงกับค่าความต่างเฟสที่ได้จากการจำลองผลในตารางที่ 4.4 จากนั้นเราต้องทำการแปลงค่าที่ได้ให้อยู่ในรูปของจำนวนเชิงซ้อนได้ดังตารางที่ 5.2 เพื่อใช้เป็นค่าสัมประสิทธิ์ในการกำหนดทิศทางของจุดศูนย์โดยการนำค่าสัมประสิทธิ์ที่ได้ไปย้อนกลับในการจำลองผลด้วยวิธีการกำหนดทิศทางของจุดศูนย์ เพื่อออกแบบรูปการแผ่พลังงานและประสิทธิภาพของการกำหนดทิศทางของจุดศูนย์ เมื่อมีสัญญาณที่ต้องการเข้ามาในทิศทางที่  $135^\circ$  และมีสัญญาณแทรกสอดเข้ามาทาง  $45^\circ$   $225^\circ$  และ  $315^\circ$  จากผลที่ได้พบว่าชุดอุปกรณ์ที่เราได้ทำการสร้างนั้นสามารถนำมาใช้งานได้ เนื่องจากสามารถให้ค่าคลื่นหลักไปยังสัญญาณที่ต้องการเข้ามาในทิศทางที่  $135^\circ$  และสามารถกำหนดทิศทางของจุดศูนย์ได้ในทิศทางของมีสัญญาณแทรกสอดเข้ามาทาง  $45^\circ$   $225^\circ$  และ  $315^\circ$  แสดงดังรูปที่ 5.20

ตารางที่ 5.2 ค่าแอมพลิจูดและมุมเฟสที่ได้จากการวัดชุดอุปกรณ์ที่ใช้ในการหาค่าคลื่นหลักไปยังทิศทางที่เราต้องการที่  $135^\circ$  และมีสัญญาณแทรกสอดเข้ามาทาง  $45^\circ$   $225^\circ$  และ  $315^\circ$

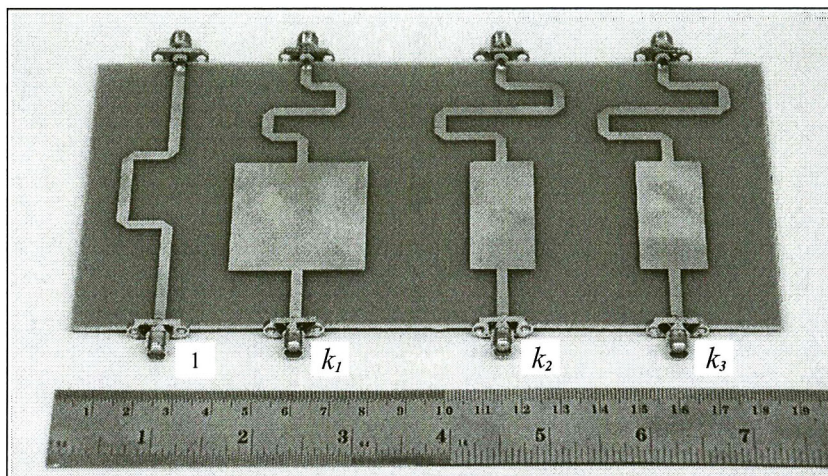
อุปกรณ์	ค่าที่ได้จากการวัดอุปกรณ์		ค่าความต่างเฟส (องศา)	จำนวนเชิงซ้อน
	แอมพลิจูด (dB)	มุมเฟส (องศา)		
วงจรที่ 1	-1.134	158.87	0	0.8776+0.0000i
$k_1$	-7.817	-85.177	115.953	-0.1778+0.3655i
$k_2$	-6.364	48.718	-110.152	-0.1655-0.4511i
$k_3$	-12.354	157.65	-1.22	0.2410-0.0050i



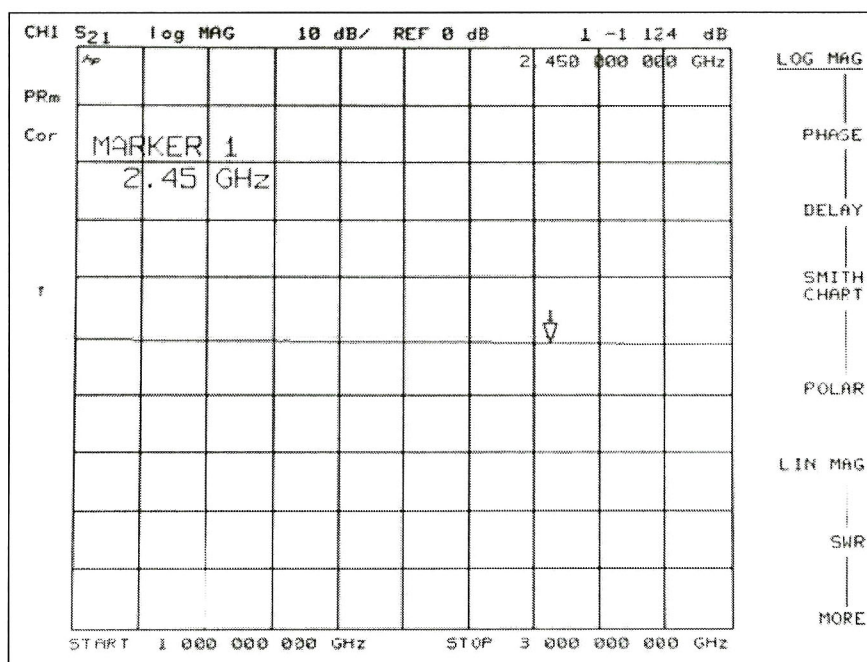
รูปที่ 5.20 แบบรูปการแผ่พลังงานที่ได้จากการวัด ค่าสัมประสิทธิ์ของการกำหนดทิศทางของจุดศูนย์ และป้อนกลับในการจำลองแบบด้วยวิธีการกำหนดทิศทางของจุดศูนย์ เมื่อมีสัญญาณที่ต้องการเข้ามาในทิศทางที่  $135^\circ$  และสัญญาณแทรกสอดมาจากทิศทางที่  $45^\circ$   $225^\circ$  และ  $315^\circ$

**5.2.3 ชุดอุปกรณ์ที่ใช้ในการหันลำคลื่นหลักไปยังทิศทางของสัญญาณที่ต้องการเข้ามาที่  $225^\circ$  และกำหนดทิศทางของจุดศูนย์ที่มีสัญญาณแทรกสอดเข้ามาทาง  $45^\circ$   $135^\circ$  และ  $315^\circ$**

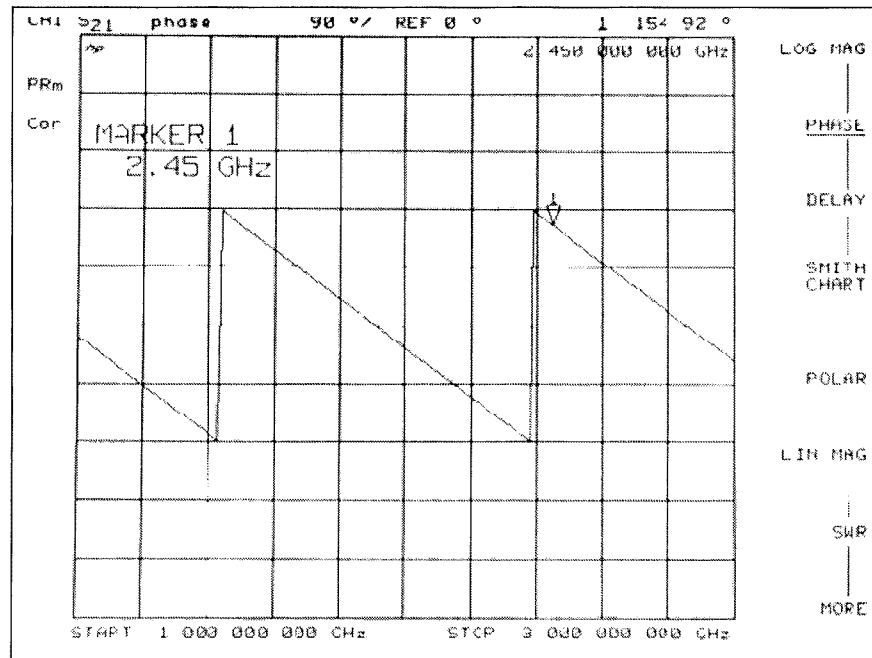
รูปที่ 5.21 คือลักษณะของอุปกรณ์ที่สร้างขึ้นมาจริงเพื่อใช้ในการหันลำคลื่นหลักไปยังทิศทางของสัญญาณที่ต้องการเข้ามาที่  $225^\circ$  และมีความสามารถในการกำหนดทิศทางของจุดศูนย์ที่มีสัญญาณแทรกสอดเข้ามาทาง  $45^\circ$   $135^\circ$  และ  $315^\circ$  จากรูปวงจรที่ 1 คือวงจรที่ใช้เชื่อมต่อกับพอร์ตขาออกของแบตเตอรี่เมตริกซ์ที่ถูกปรับปรุง ที่ให้ทิศทางของลำคลื่นหลักไปยังทิศทางของสัญญาณที่ต้องการเข้ามาที่  $225^\circ$  โดยที่วงจร  $k_1$  คือ ค่าสัมประสิทธิ์ที่ใช้กำหนดทิศทางของจุดศูนย์ในทิศทางที่  $45^\circ$  วงจร  $k_2$  คือ ค่าสัมประสิทธิ์ที่ใช้กำหนดทิศทางของจุดศูนย์ในทิศทางที่  $135^\circ$  วงจร  $k_3$  คือค่าสัมประสิทธิ์ที่ใช้กำหนดทิศทางของจุดศูนย์ในทิศทางที่  $315^\circ$  ตามลำดับ จากนั้นนำอุปกรณ์ที่สร้างไปวัดผลด้วยเครื่องวิเคราะห์ห้วงจรข่าย เพื่อดูแอมพลิจูดและมุมเฟสของอุปกรณ์ได้ผลการวัดดังรูปที่ 5.21 – 5.29



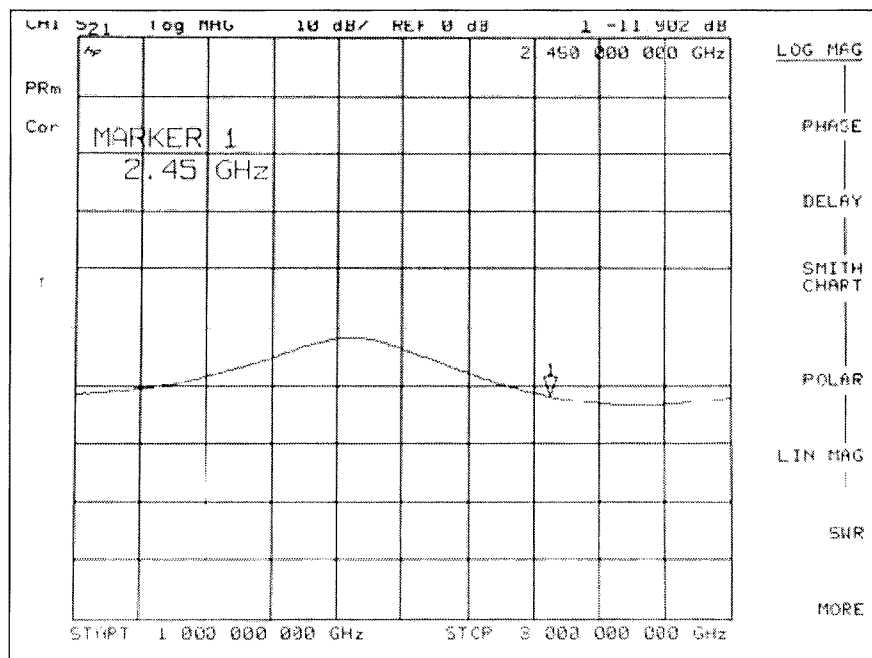
รูปที่ 5.21 ลักษณะของชุดอุปกรณ์ที่สร้างขึ้นจริงเพื่อนำไปใช้ในการหาค่าคลื่นหลักไปยังทิศทางที่เราต้องการที่  $225^\circ$  และมีสัญญาณแทรกสอดเข้ามาทาง  $45^\circ$   $135^\circ$  และ  $315^\circ$



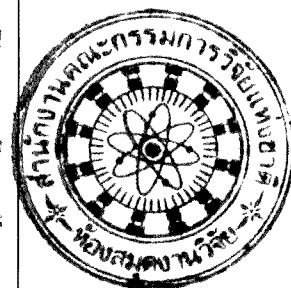
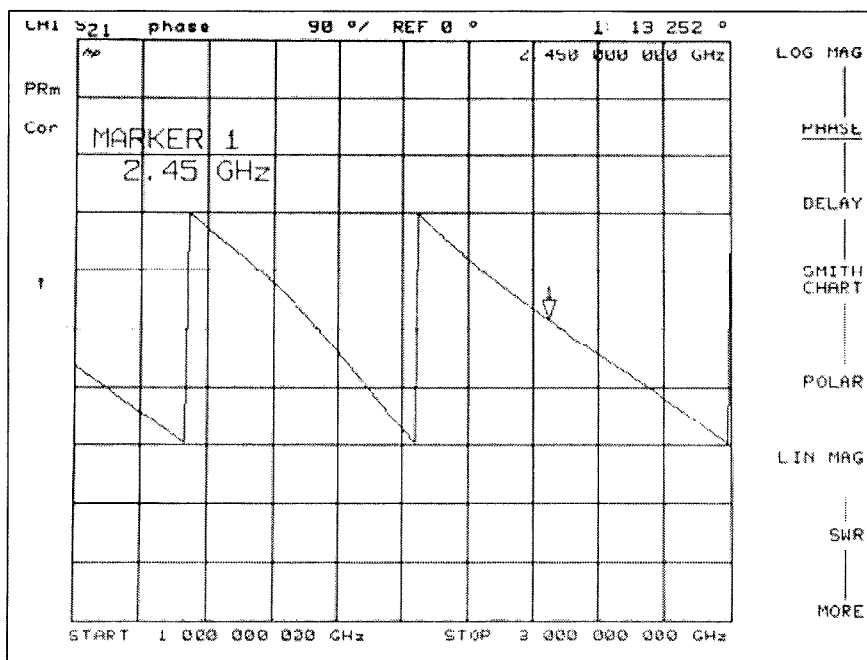
รูปที่ 5.22 แอมพลิจูดของวงจรที่ 1 ในชุดอุปกรณ์ที่ใช้ในการหาค่าคลื่นหลักไปยังทิศทางที่เราต้องการที่  $225^\circ$  และมีสัญญาณแทรกสอดเข้ามาทาง  $45^\circ$   $135^\circ$  และ  $315^\circ$



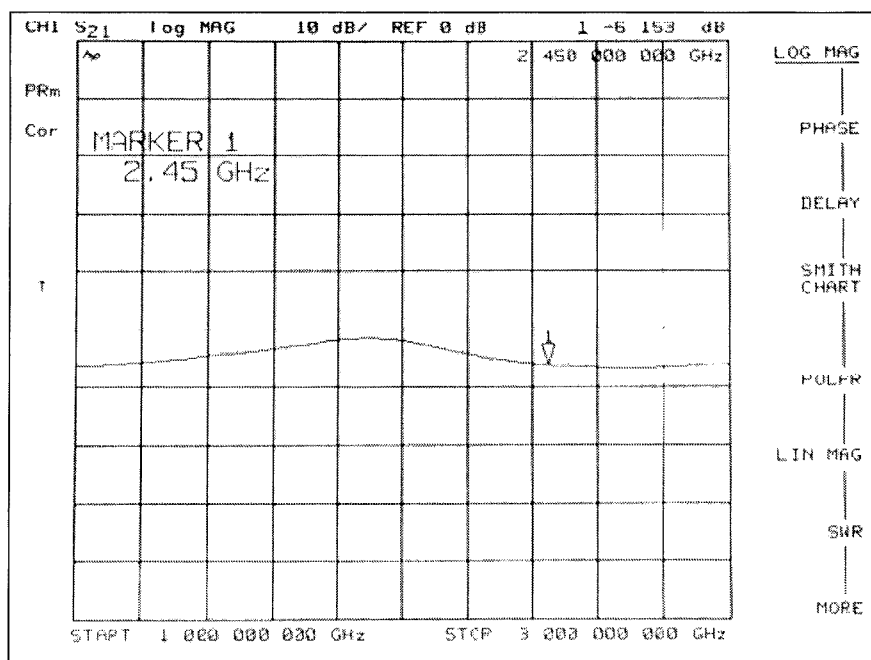
รูปที่ 5.23 มุมเฟสของวงจรที่ 1 ในชุดอุปกรณ์ที่ใช้ในการหั่นลำคลื่นหลักไปยังทิศทางที่เราต้องการที่  $225^\circ$  และมีสัญญาณแทรกสอดเข้ามาทาง  $45^\circ$   $135^\circ$  และ  $315^\circ$



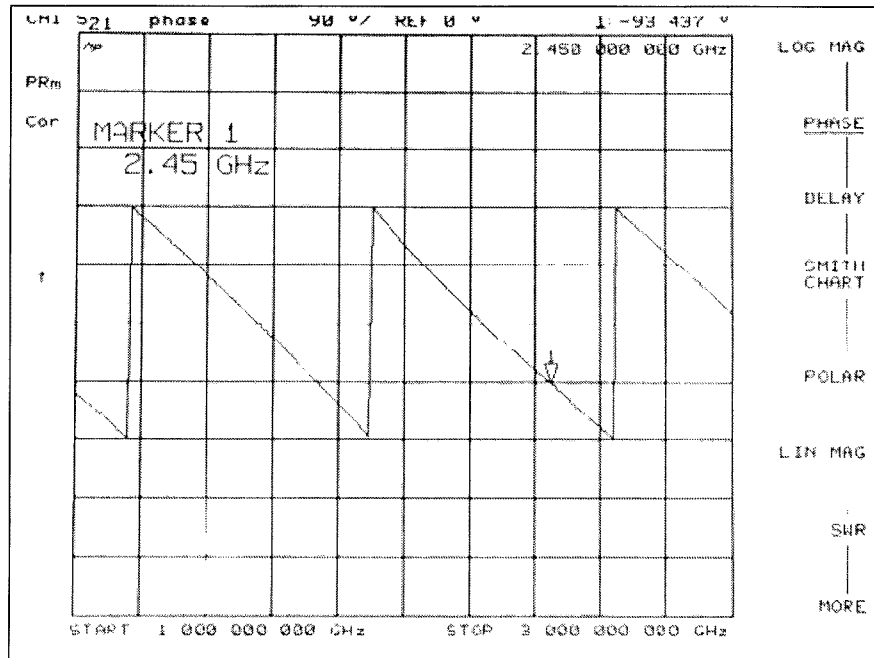
รูปที่ 5.24 แอมพลิจูดของวงจร  $k$ , ในชุดอุปกรณ์ที่ใช้ในการหั่นลำคลื่นหลักไปยังทิศทางที่เราต้องการที่  $225^\circ$  และมีสัญญาณแทรกสอดเข้ามาทาง  $45^\circ$   $135^\circ$  และ  $315^\circ$



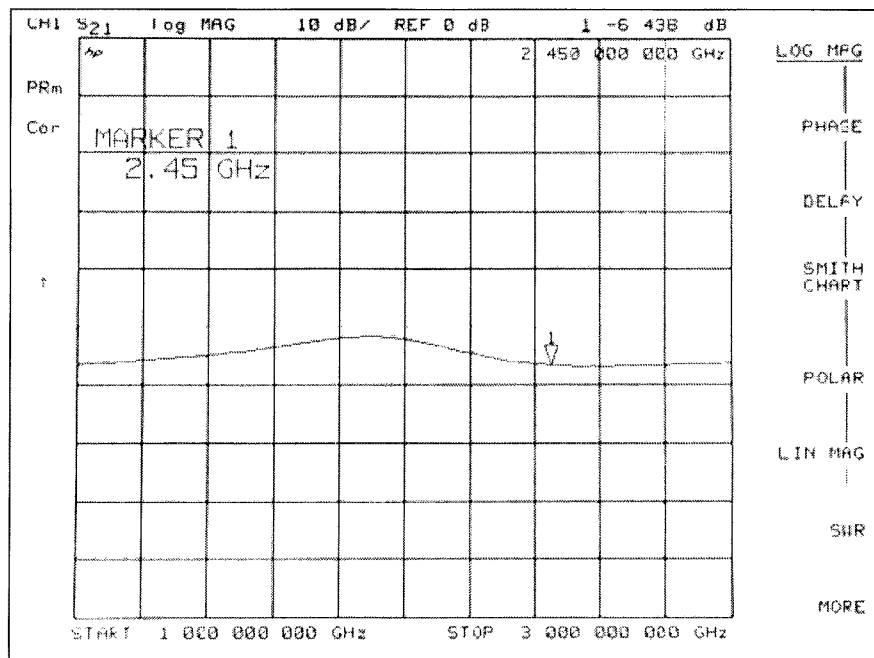
รูปที่ 5.25 มุมเฟสของวงจร  $k$ , ในชุดอุปกรณ์ที่ใช้ในการหาค่าคลื่นหลักไปยังทิศทางที่เราต้องการที่  $225^\circ$  และมีสัญญาณแทรกสอดเข้ามาทาง  $45^\circ$   $135^\circ$  และ  $315^\circ$



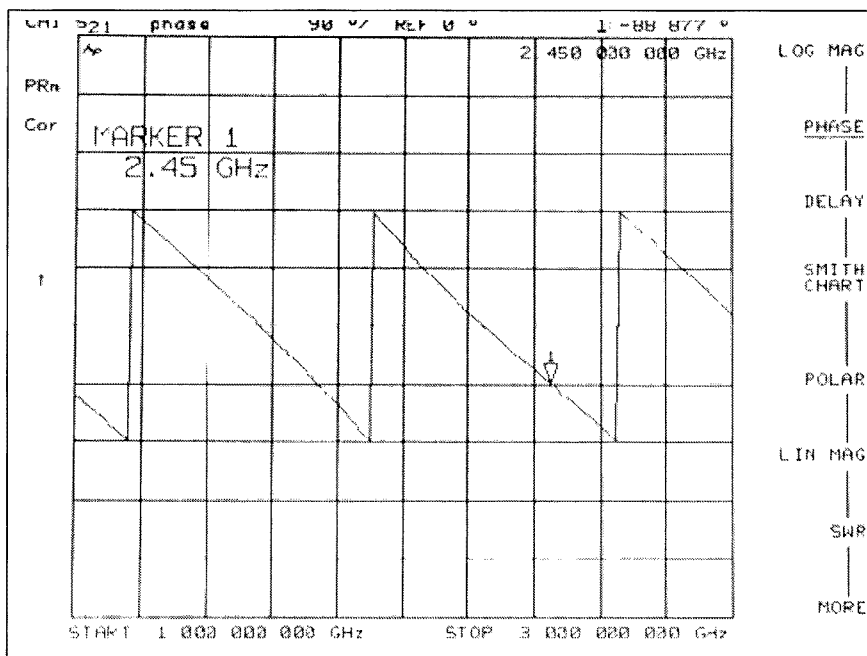
รูปที่ 5.26 แอมพลิจูดของวงจร  $k$ , ในชุดอุปกรณ์ที่ใช้ในการหาค่าคลื่นหลักไปยังทิศทางที่เราต้องการที่  $225^\circ$  และมีสัญญาณแทรกสอดเข้ามาทาง  $45^\circ$   $135^\circ$  และ  $315^\circ$



รูปที่ 5.27 มุมเฟสของวงจร  $k_2$  ในชุดอุปกรณ์ที่ใช้ในการหาค่าคลื่นหลักไปยังทิศทางที่เราต้องการที่  $225^\circ$  และมีสัญญาณแทรกสอดเข้ามาทาง  $45^\circ$   $135^\circ$  และ  $315^\circ$



รูปที่ 5.28 แอมพลิจูดของวงจร  $k_3$  ในชุดอุปกรณ์ที่ใช้ในการหาค่าคลื่นหลักไปยังทิศทางที่เราต้องการที่  $225^\circ$  และมีสัญญาณแทรกสอดเข้ามาทาง  $45^\circ$   $135^\circ$  และ  $315^\circ$



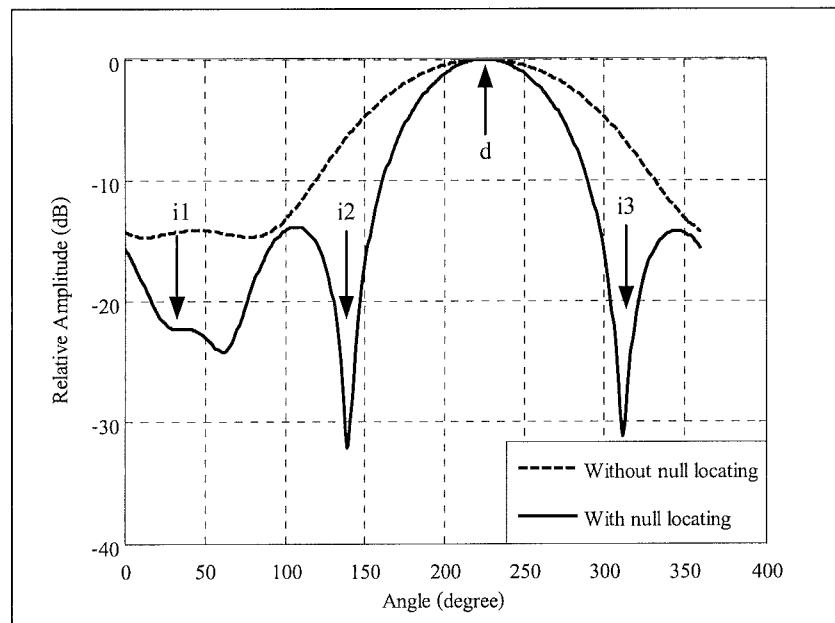
รูปที่ 5.29 มุมเฟสของวงจร  $k$ , ในชุดอุปกรณ์ที่ใช้ในการหาค่าคลื่นหลักไปยังทิศทางที่เราต้องการที่  $225^\circ$  และมีสัญญาณแทรกสอดเข้ามาทาง  $45^\circ$   $135^\circ$  และ  $315^\circ$

จากรูปที่ 5.22 – 5.29 คือกราฟแอมพลิจูดและมุมเฟสที่ได้จากการวัดชุดอุปกรณ์ทั้งหมด โดยการถ่ายภาพเนื่องจากสายที่ใช้เชื่อมต่อกันระหว่างเครื่องวิเคราะห์ช่วงขยายไปยังคอมพิวเตอร์นั้นเกิดการชำรุดจึงทำให้ไม่สามารถดึงรูปกราฟทั้งหมดออกมาจากเครื่องวิเคราะห์ช่วงขยายได้โดยตรง เราจึงได้สรุปค่าต่าง ๆ ที่วัดได้ดังตารางที่ 5.3 คือค่าแอมพลิจูดและมุมเฟสที่ได้จากการวัดชุดอุปกรณ์ที่ใช้ในการหาค่าคลื่นหลักไปยังทิศทางที่เราต้องการที่  $225^\circ$  และสามารถกำหนดทิศทางของจุดศูนย์ในทิศทางของสัญญาณแทรกสอดเข้ามาทาง  $45^\circ$   $225^\circ$  และ  $315^\circ$  ตามลำดับ จากค่าที่ได้ในตารางที่ 5.3 พบว่าค่าแอมพลิจูดที่ได้มีค่าคลาดเคลื่อนไปจากการออกแบบด้วยโปรแกรม CST Microwave Studio เล็กน้อย และค่ามุมเฟสที่ได้จากการวัดนั้นมีค่าไม่ตรงกันกับค่าที่ได้จากการออกแบบ แต่เมื่อเรานำค่าที่ได้มาทำการคำนวณหาค่าต่างเฟสที่ได้นั้นพบว่าค่าความต่างเฟสที่ได้ในแต่ละวงจรมีความใกล้เคียงกับค่าความต่างเฟสที่ได้จากการจำลองผลในตารางที่ 4.4 จากนั้นเราต้องทำการแปลงค่าที่ได้ให้อยู่ในรูปของจำนวนเชิงซ้อนได้ดังตารางที่ 5.3 เพื่อใช้เป็น ค่าสัมประสิทธิ์ในการกำหนดทิศทางของจุดศูนย์โดยการนำค่าสัมประสิทธิ์ที่ได้ป้อนกลับในการจำลองผลด้วยวิธีการกำหนดทิศทางของจุดศูนย์ เพื่อดูแบบรูปการแผ่พลังงานและประสิทธิภาพของการกำหนดทิศทางของจุดศูนย์ เมื่อมีสัญญาณที่ต้องการเข้ามาในทิศทางที่  $225^\circ$  และมีสัญญาณแทรกสอดเข้ามาทาง  $45^\circ$   $135^\circ$  และ  $315^\circ$

ดังรูปที่ 5.30 จะแสดงให้เห็นว่าชุดอุปกรณ์นี้สามารถให้ลาคี่หลักไปยังสัญญาณที่ต้องการเข้ามาในทิศทางที่  $225^\circ$  และสามารถกำหนดทิศทางของจุดศูนย์ได้ในทิศทางของมีสัญญาณแทรกสอดเข้ามาทาง  $45^\circ$   $135^\circ$  และ  $315^\circ$  นั้นหมายความว่าชุดอุปกรณ์ที่เราได้ทำการสร้างสามารถนำมาใช้งานได้

ตารางที่ 5.3 ค่าแอมพลิจูดและมุมเฟสที่ได้จากการวัดชุดอุปกรณ์ที่ใช้ในการหันลาคี่หลักไปยังทิศทางที่เราต้องการที่  $225^\circ$  และมีสัญญาณแทรกสอดเข้ามาทาง  $45^\circ$   $135^\circ$  และ  $315^\circ$

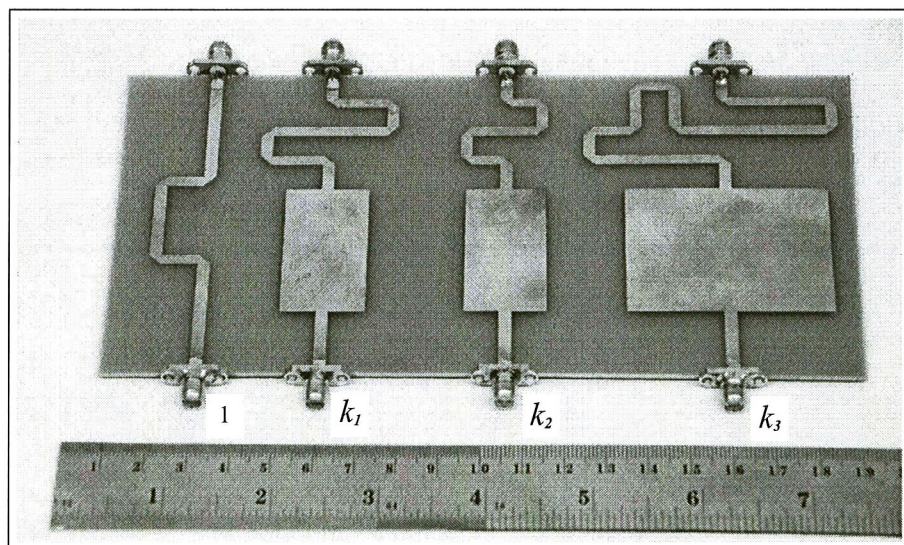
อุปกรณ์	ค่าที่ได้จากการวัดอุปกรณ์		ค่าความต่างเฟส (องศา)	จำนวนเชิงซ้อน
	แอมพลิจูด (dB)	มุมเฟส (องศา)		
วงจรที่ 1	-1.124	154.92	0	0.8786
$k_1$	-11.902	13.252	-141.668	-0.1992-0.1575i
$k_2$	-6.153	-93.437	111.643	-0.1816+0.4576i
$k_3$	-6.438	-88.877	116.203	-0.2103+0.4275i



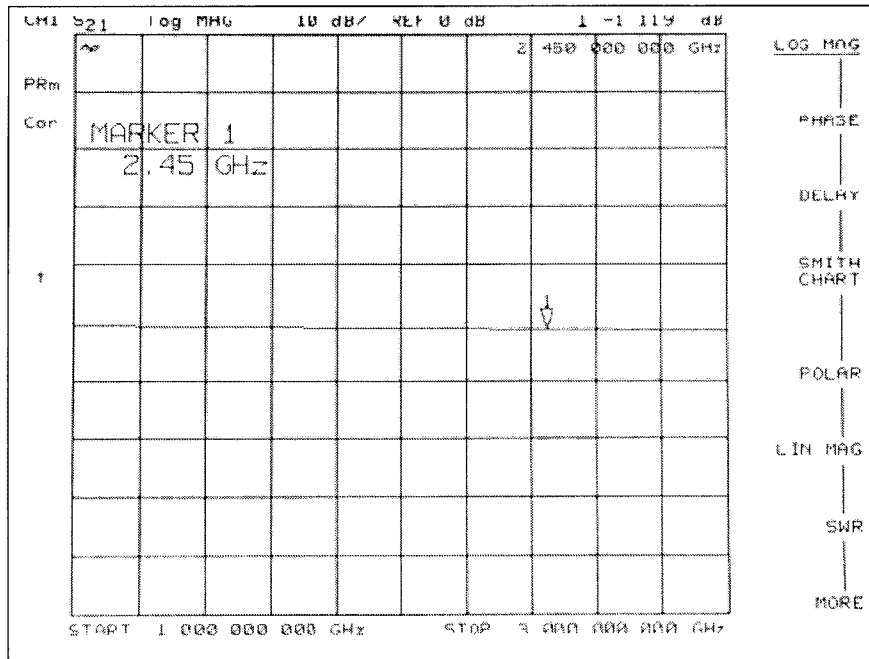
รูปที่ 5.30 แบบรูปการแผ่พลังงานที่ได้จากการวัดค่าสัมประสิทธิ์ของการกำหนดทิศทางของจุดศูนย์และป้อนกลับในการจำลองแบบด้วยวิธีการกำหนดทิศทางของจุดศูนย์ เมื่อมีสัญญาณที่ต้องการเข้ามาในทิศทางที่  $225^\circ$  และสัญญาณแทรกสอดมาจากทิศทางที่  $45^\circ$   $135^\circ$  และ  $315^\circ$

#### 5.2.4 ชุดอุปกรณ์ที่ใช้ในการหันลำคลื่นหลักไปยังทิศทางของสัญญาณที่ต้องการเข้ามาที่ $315^\circ$ และกำหนดทิศทางของจุดศูนย์ที่มีสัญญาณแทรกสอดเข้ามาทาง $45^\circ$ $135^\circ$ และ $225^\circ$

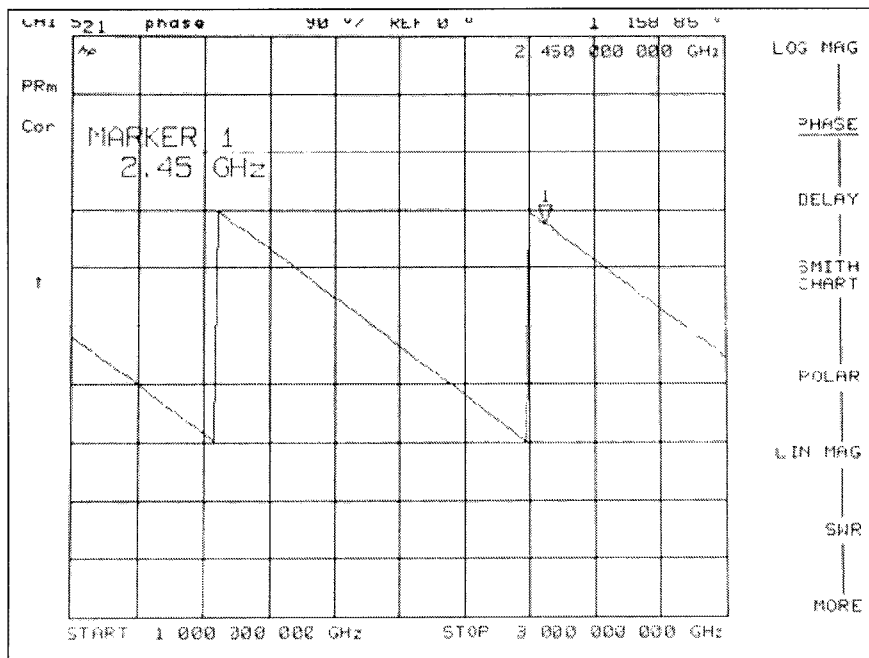
จากที่ได้กล่าวมาในบทที่ 4 ในการหันลำคลื่นหลักไปยังทิศทางที่  $315^\circ$  นั้นสามารถใช้อุปกรณ์ที่ใช้กำหนดทิศทางของจุดศูนย์ชุดเดียวกันกับอุปกรณ์ที่ใช้ในการหันลำคลื่นหลักไปยังทิศทางที่  $135^\circ$  โดยการสลับพอร์ตในการเชื่อมต่อ ดังรูปที่ 5.31 แสดงลักษณะของของอุปกรณ์ที่สร้างขึ้นมาจริงเพื่อใช้ในการหันลำคลื่นหลักไปยังทิศทางของสัญญาณที่ต้องการเข้ามาที่  $315^\circ$  และมีความสามารถในการกำหนดทิศทางของจุดศูนย์ที่มีสัญญาณแทรกสอดเข้ามาทาง  $45^\circ$   $135^\circ$  และ  $225^\circ$  จากรูปวงจรที่ 1 คือวงจรที่ใช้เชื่อมต่อกับพอร์ตขาออกของ modified Butler matrix ที่ให้ทิศทางของลำคลื่นหลักไปยังทิศทางของสัญญาณที่ต้องการเข้ามาที่  $315^\circ$  โดยที่วงจร  $k_1$  คือ ค่าสัมประสิทธิ์ที่ใช้กำหนดทิศทางของจุดศูนย์ในทิศทางที่  $45^\circ$  วงจร  $k_2$  คือ ค่าสัมประสิทธิ์ที่ใช้กำหนดทิศทางของจุดศูนย์ในทิศทางที่  $135^\circ$  วงจร  $k_3$  คือ ค่าสัมประสิทธิ์ที่ใช้กำหนดทิศทางของจุดศูนย์ในทิศทางที่  $225^\circ$  ตามลำดับ จากนั้นนำอุปกรณ์ที่สร้างไปวัดผลด้วยเครื่องวิเคราะห์ห้วงจรข่าย เพื่อดูแอมพลิจูดและมุมเฟสของอุปกรณ์ได้ผลวัดดังรูปที่ 5.32 - 5.39



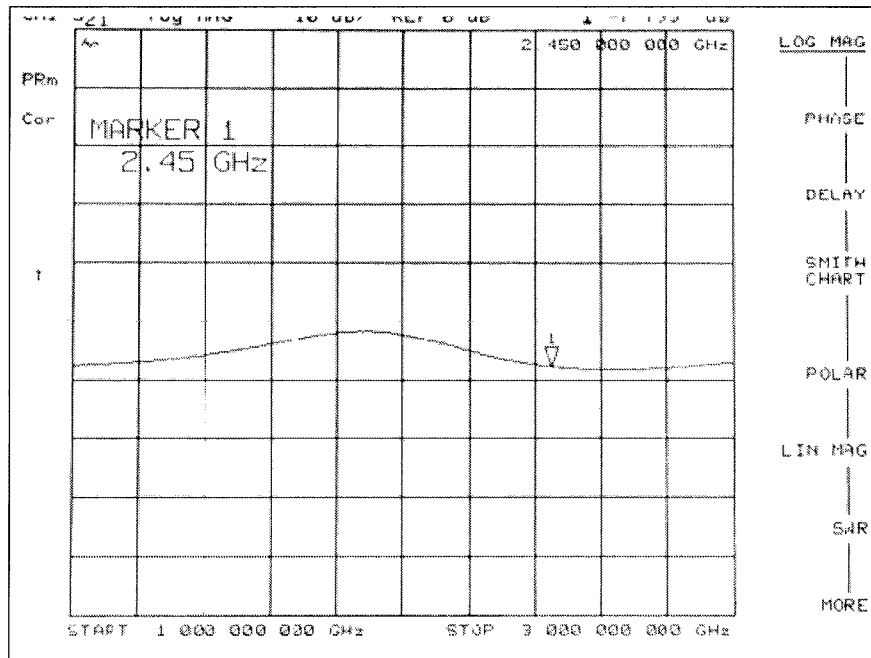
รูปที่ 5.31 ลักษณะของชุดอุปกรณ์ที่สร้างขึ้นจริงเพื่อนำไปใช้ในการหันลำคลื่นหลักไปยังทิศทางที่เราต้องการที่  $315^\circ$  และมีสัญญาณแทรกสอดเข้ามาทาง  $45^\circ$   $135^\circ$  และ  $225^\circ$



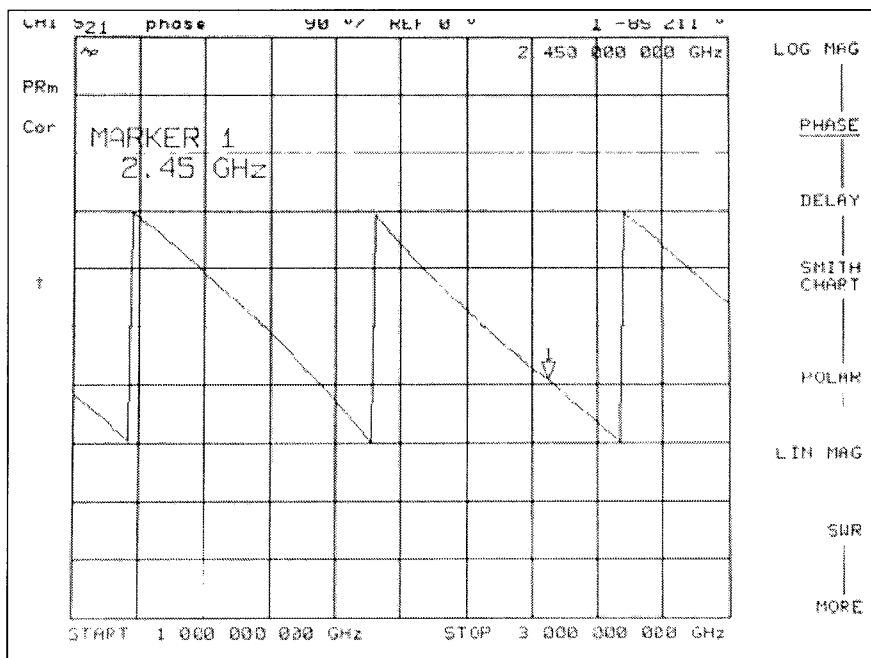
รูปที่ 5.32 แอมพลิจูดของวงจรที่ 1 ในชุดอุปกรณ์ที่ใช้ในการหาค่าคลื่นหลักไปยังทิศทางที่เราต้องการที่  $315^\circ$  และมีสัญญาณแทรกสอดเข้ามาทาง  $45^\circ$   $135^\circ$  และ  $225^\circ$



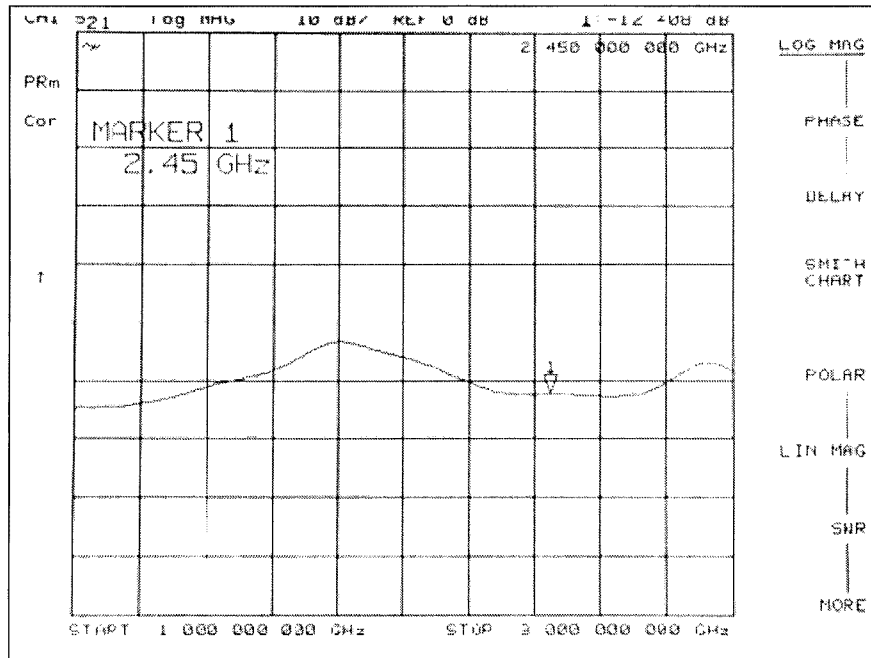
รูปที่ 5.33 มุมเฟสของวงจรที่ 1 ในชุดอุปกรณ์ที่ใช้ในการหาค่าคลื่นหลักไปยังทิศทางที่เราต้องการที่  $315^\circ$  และมีสัญญาณแทรกสอดเข้ามาทาง  $45^\circ$   $135^\circ$  และ  $225^\circ$



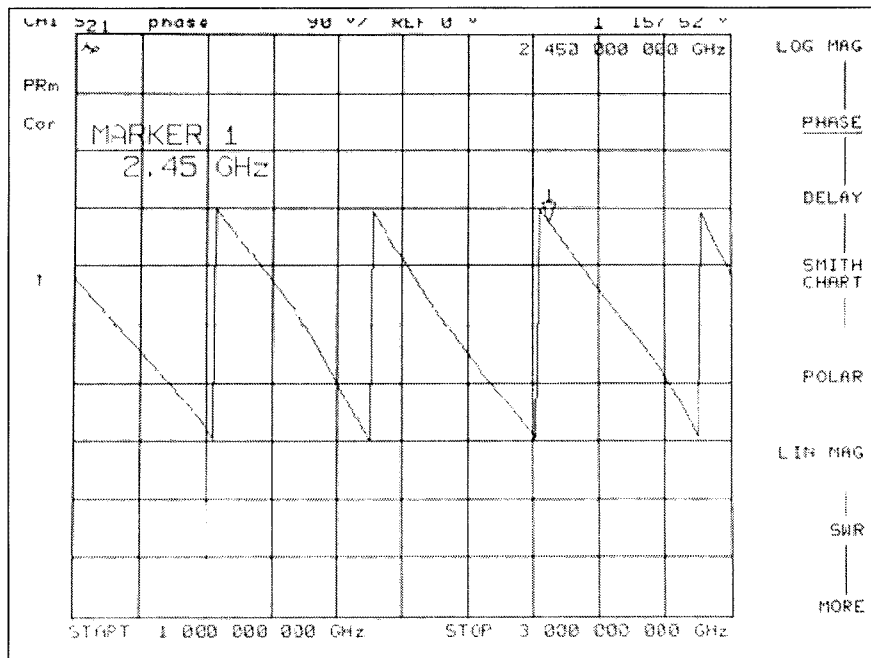
รูปที่ 5.34 แอมพลิจูดของวงจร  $k$ , ในชุดอุปกรณ์ที่ใช้ในการหั่นลำคลื่นหลักไปยังทิศทางที่เราต้องการที่  $315^\circ$  และมีสัญญาณแทรกสอดเข้ามาทาง  $45^\circ$   $135^\circ$  และ  $225^\circ$



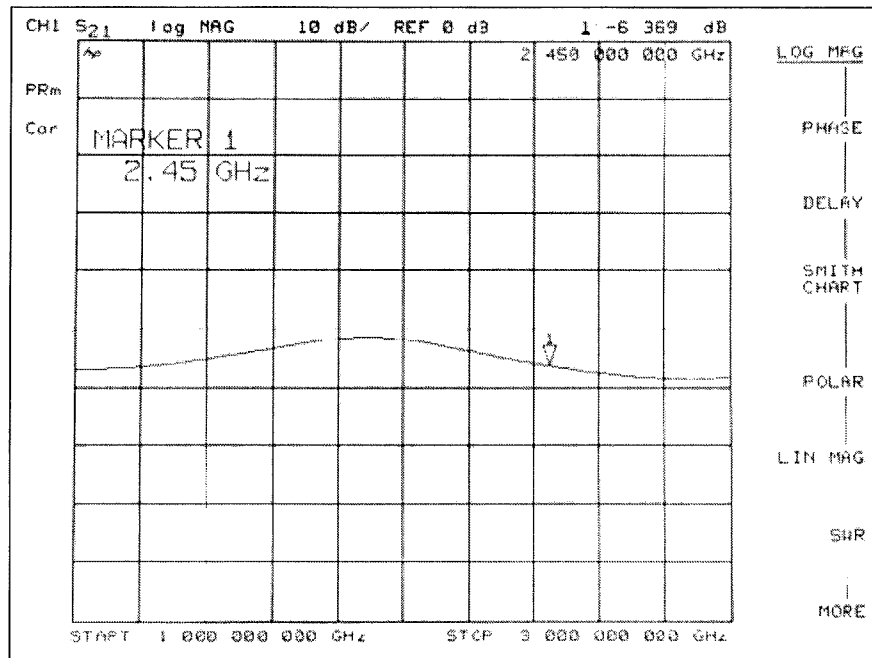
รูปที่ 5.35 มุมเฟสของวงจร  $k$ , ในชุดอุปกรณ์ที่ใช้ในการหั่นลำคลื่นหลักไปยังทิศทางที่เราต้องการที่  $315^\circ$  และมีสัญญาณแทรกสอดเข้ามาทาง  $45^\circ$   $135^\circ$  และ  $225^\circ$



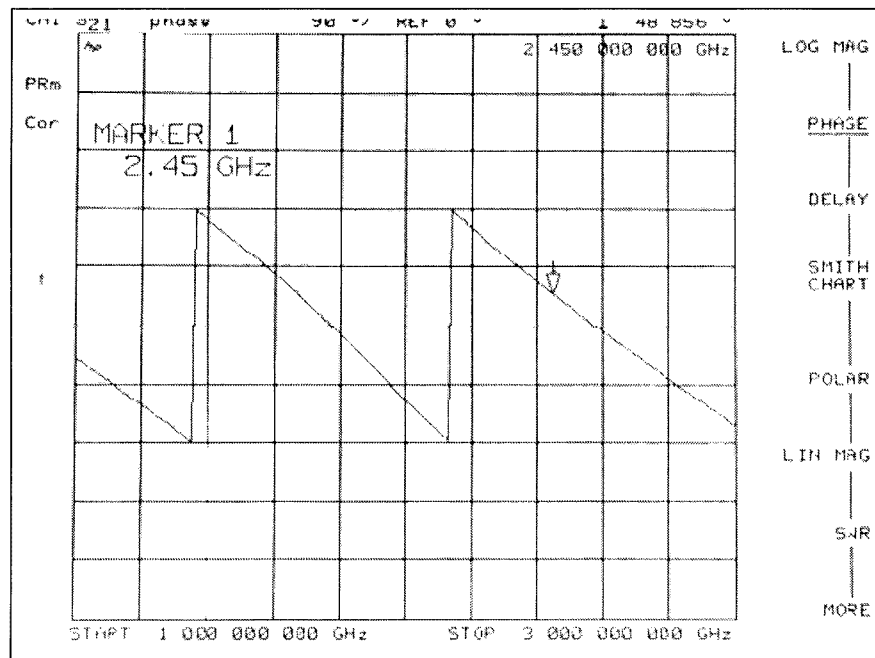
รูปที่ 5.36 แอมพลิจูดของวงจร  $k_2$  ในชุดอุปกรณ์ที่ใช้ในการหาค่าคลื่นหลักไปยังทิศทางที่เราต้องการที่  $315^\circ$  และมีสัญญาณแทรกสอดเข้ามาทาง  $45^\circ$   $135^\circ$  และ  $225^\circ$



รูปที่ 5.37 มุมเฟสของวงจร  $k_2$  ในชุดอุปกรณ์ที่ใช้ในการหาค่าคลื่นหลักไปยังทิศทางที่เราต้องการที่  $315^\circ$  และมีสัญญาณแทรกสอดเข้ามาทาง  $45^\circ$   $135^\circ$  และ  $225^\circ$



รูปที่ 5.38 แอมพลิจูดของวงจร  $k$ , ในชุดอุปกรณ์ที่ใช้ในการหั่นลำคลื่นหลักไปยังทิศทางที่เราต้องการที่  $315^\circ$  และมีสัญญาณแทรกสอดเข้ามาทาง  $45^\circ$   $135^\circ$  และ  $225^\circ$

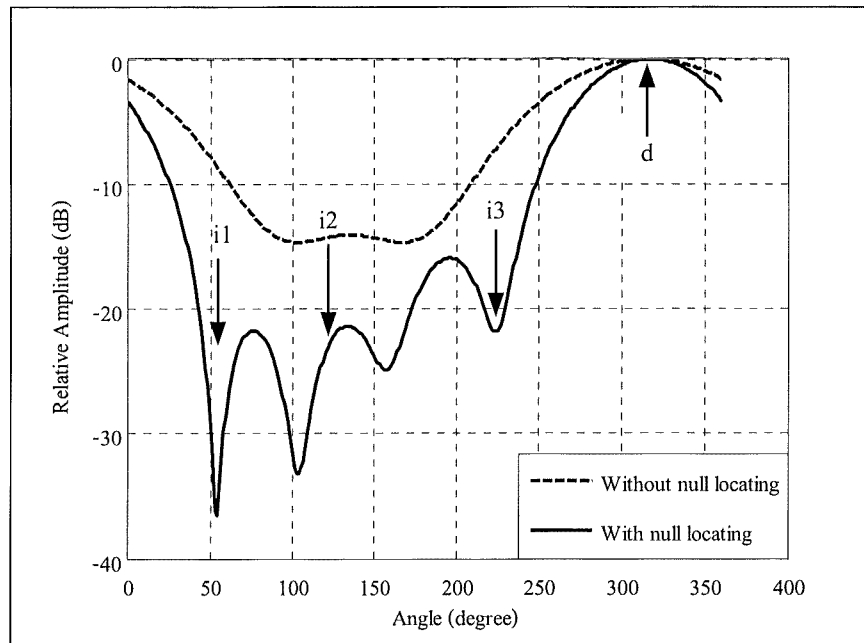


รูปที่ 5.39 มุมเฟสของวงจร  $k$ , ในชุดอุปกรณ์ที่ใช้ในการหั่นลำคลื่นหลักไปยังทิศทางที่เราต้องการที่  $315^\circ$  และมีสัญญาณแทรกสอดเข้ามาทาง  $45^\circ$   $135^\circ$  และ  $225^\circ$

จากรูปที่ 5.32 – 5.39 คือกราฟแอมพลิจูดและมุมเฟสที่ได้จากการวัดชุดอุปกรณ์ทั้งหมด โดยการถ่ายภาพเนื่องจากสายที่ใช้เชื่อมต่อกันระหว่างเครื่องวิเคราะห์วงจรข่ายไปยังคอมพิวเตอร์นั้นเกิดการชำรุดจึงทำให้ไม่สามารถดึงรูปกราฟทั้งหมดออกมาจากเครื่องวิเคราะห์วงจรข่ายได้โดยตรง เราจึงได้สรุปค่าต่าง ๆ ที่วัดได้ดังตารางที่ 5.4 คือ ค่าแอมพลิจูดและมุมเฟสที่ได้จากการวัดชุดอุปกรณ์ที่ใช้ในการหาลำคลื่นหลักไปยังทิศทางที่เราต้องการที่  $315^\circ$  และสามารถกำหนดทิศทางของจุดศูนย์ในทิศทางของสัญญาณแทรกสอดเข้ามาทาง  $45^\circ$   $135^\circ$  และ  $225^\circ$  ตามลำดับ จากค่าที่ได้ในตารางที่ 5.4 พบว่าค่าแอมพลิจูดที่ได้มีค่าคลาดเคลื่อนไปจากการออกแบบด้วยโปรแกรม CST Microwave Studio เล็กน้อย และค่ามุมเฟสที่ได้จากการวัดนั้นมีค่าไม่ตรงกันกับค่าที่ได้จากการออกแบบ แต่เมื่อเรานำค่าที่ได้มาทำการคำนวณหาค่าต่างเฟสที่ได้ นั้นพบว่าค่าความต่างเฟสที่ได้ในแต่ละวงจรมีความใกล้เคียงกับค่าความต่างเฟสที่ได้จากการจำลองผลในตารางที่ 4.4 จากนั้นเราต้องทำการแปลงค่าที่ได้ให้อยู่ในรูปของจำนวนเชิงซ้อนได้ดังตารางที่ 5.4 เพื่อใช้เป็นค่าสัมประสิทธิ์ในการกำหนดทิศทางของจุดศูนย์โดยการนำค่าสัมประสิทธิ์ที่ได้ป้อนกลับในการจำลองผลด้วยวิธีการกำหนดทิศทางของจุดศูนย์ เพื่อดูแบบรูปการแผ่พลังงานและประสิทธิภาพของการกำหนดทิศทางของจุดศูนย์ เมื่อมีสัญญาณที่ต้องการเข้ามาในทิศทางที่  $315^\circ$  และมีสัญญาณแทรกสอดเข้ามาทาง  $45^\circ$   $135^\circ$  และ  $225^\circ$  ดังรูปที่ 5.40 จะแสดงให้เห็นว่าชุดอุปกรณ์นี้สามารถให้ลำคลื่นหลักไปยังสัญญาณที่ต้องการเข้ามาในทิศทางที่  $315^\circ$  และสามารถกำหนดทิศทางของจุดศูนย์ได้ในทิศทางของมีสัญญาณแทรกสอดเข้ามาทาง  $45^\circ$   $135^\circ$  และ  $225^\circ$  ถึงแม้ว่าทิศทางของการกำหนดจุดศูนย์นั้นมีมุมที่คลาดเคลื่อนอยู่บ้างเล็กน้อย ซึ่งอาจจะเกิดจากความผิดพลาดในขั้นตอนการสร้างแต่ชุดอุปกรณ์ที่เราได้ทำการสร้างนั้นก็ยังสามารถนำมาใช้งานได้

ตารางที่ 5.4 ค่าแอมพลิจูดและมุมเฟสที่ได้จากการวัดชุดอุปกรณ์ที่ใช้ในการหาลำคลื่นหลักไปยังทิศทางที่เราต้องการที่  $315^\circ$  และมีสัญญาณแทรกสอดเข้ามาทาง  $45^\circ$   $135^\circ$  และ  $225^\circ$

อุปกรณ์	ค่าที่ได้จากการวัดอุปกรณ์		ค่าความต่างเฟส (องศา)	จำนวนเชิงซ้อน
	แอมพลิจูด (dB)	มุมเฟส (องศา)		
วงจรที่ 1	-1.119	158.85	0	0.8791+0.0000i
$k_1$	-7.755	-85.211	115.939	-0.1790+0.3681i
$k_2$	-12.408	157.52	-1.33	0.2395-0.0050i
$k_3$	-6.639	48.856	-109.994	-0.1591-0.4375i

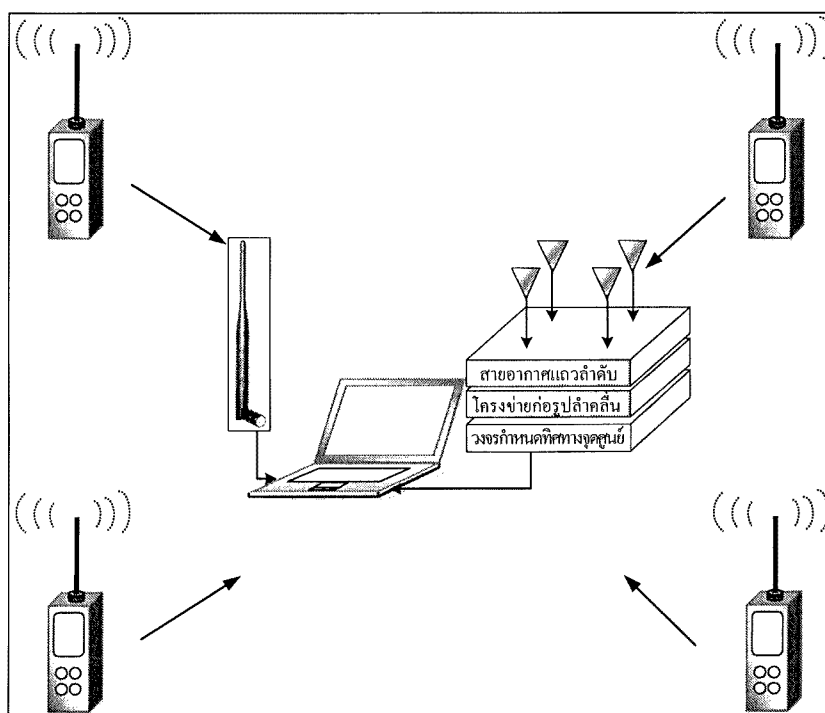


รูปที่ 5.40 แบบรูปการแผ่พลังงานที่ได้จากการวัดค่าสัมประสิทธิ์ของการกำหนดทิศทางของจุดศูนย์ และป้อนกลับในการจำลองแบบด้วยวิธีการกำหนดทิศทางของจุดศูนย์ เมื่อมีสัญญาณที่ต้องการเข้า ในทิศทางที่  $315^\circ$  และสัญญาณแทรกสอดมาจากทิศทางที่  $45^\circ$   $135^\circ$  และ  $225^\circ$

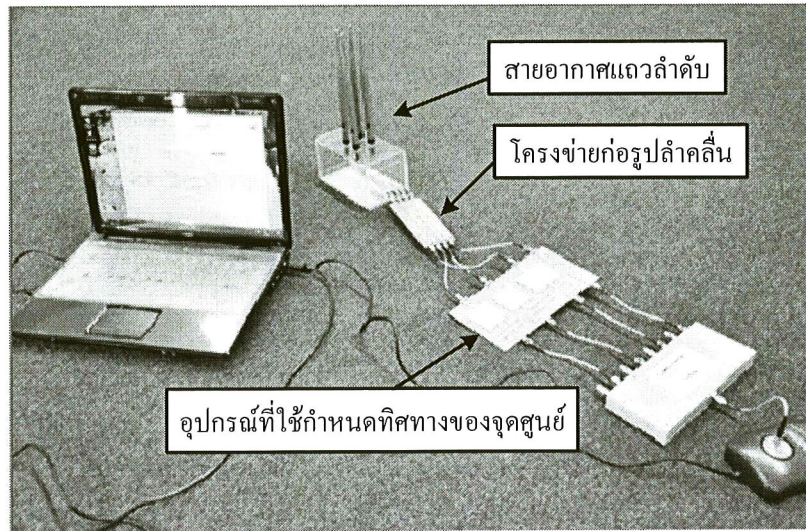
จากการวัดทดสอบอุปกรณ์จริงที่เราใช้กำหนดทิศทางของศูนย์ที่แสดงมาทั้งหมดนั้น พบว่าอุปกรณ์ทั้งหมดสามารถกำหนดทิศทางของจุดศูนย์ในทิศทางของสัญญาณแทรกสอด ที่เข้ามาในระบบได้ ถึงแม้ว่าจะมีในบางชุดอุปกรณ์มีแอมพลิจูดคลาดเคลื่อนไป 0.4 - 2.2 dB และมีมุมในการกำหนดทิศทางของจุดศูนย์คลาดเคลื่อนไป 0.15 - 14.39 องศา ซึ่งถือว่า มีค่าคลาดเคลื่อนเพียงเล็กน้อยนอกจากนี้ระบบยังสามารถหันลำคลื่นหลักไปยังทิศทางของสัญญาณ ที่ต้องการได้อีกด้วย ในหัวข้อถัดไปจะเป็นการนำเสนอการทดสอบระบบสายอากาศสวิตซ์ลำคลื่น ที่สามารถกำหนดทิศทางของจุดศูนย์ในพื้นที่ที่เราจำลองขึ้นมา เพื่อดูประสิทธิภาพการทำงานของ ระบบที่นำเสนอในงานวิจัยนี้เทียบกับระบบที่ใช้สายอากาศแบบรอบทิศทาง

### 5.3 การทดสอบระบบสายอากาศสวิตซ์ลำคลื่นอย่างง่ายที่มีความสามารถในการกำหนดทิศทางของจุดศูนย์

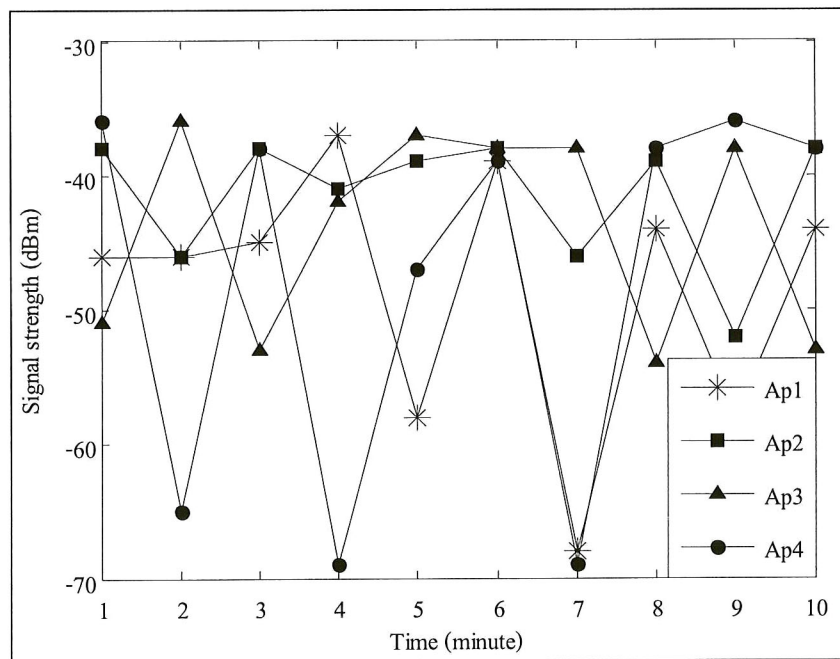
ระบบสายอากาศสวิตซ์ลำคลื่นมีความสามารถในการกำหนดทิศทางของจุดศูนย์ที่เราได้ทำการสร้างขึ้นมานั้นเราจะนำมาทดสอบประสิทธิภาพของระบบ โดยเราจะทำการวัดความแรงของสัญญาณ (signal strength) เวลาที่ใช้ในการดาวน์โหลดข้อมูล (delay) และค่าวิสัยสามารถ (throughput) ซึ่งสามารถวัดได้จากเว็บไซต์ <http://www.markab.it/meter/> ซึ่งจะนำผลที่ได้ทั้งหมดมาเปรียบเทียบกับระบบที่ใช้สายอากาศแบบรอบทิศทาง ในการทดสอบผลนั้นเราจะทำการทดสอบโดยใช้โครงสร้างพื้นฐานของเครือข่ายเมฆไร้สายแสดงดังรูปที่ 5.41 จากรูปประกอบไปด้วยอุปกรณ์ทั้งหมด 5 ตัว ที่เป็นเครือข่ายเมฆของอุปกรณ์จัดเส้นทางซึ่งมีการติดตั้งจุดเข้าถึงสัญญาณไว้ที่มุมทั้ง 4 มุม ของรูปที่ 5.41 ซึ่งจุดเข้าถึงสัญญาณแต่ละตัวนั้นถูกติดตั้งอยู่ห่างจากคอมพิวเตอร์ที่อยู่ตรงกลาง 2.33 เมตร และใช้กำลังในการส่งสัญญาณ 24 dBm โดยใช้คอมพิวเตอร์ที่อยู่ตรงกลางเป็นตัวที่ใช้ในการวัดทดสอบผล ในลำดับแรกเราจะใช้สายอากาศโมโนโพล ในการวัดผลก่อนแล้วจึงเปลี่ยนมาทำการวัดผลของระบบในงานวิจัยฉบับนี้ แสดงดังรูปที่ 5.42 สุดท้ายคือการเปรียบเทียบประสิทธิภาพการทำงานของทั้ง 2 ระบบนี้ ซึ่งจะนำเสนอในส่วนถัดไป



รูปที่ 5.41 โครงสร้างพื้นฐานของเครือข่ายเมฆไร้สายที่ใช้ในการทำการทดสอบจริง



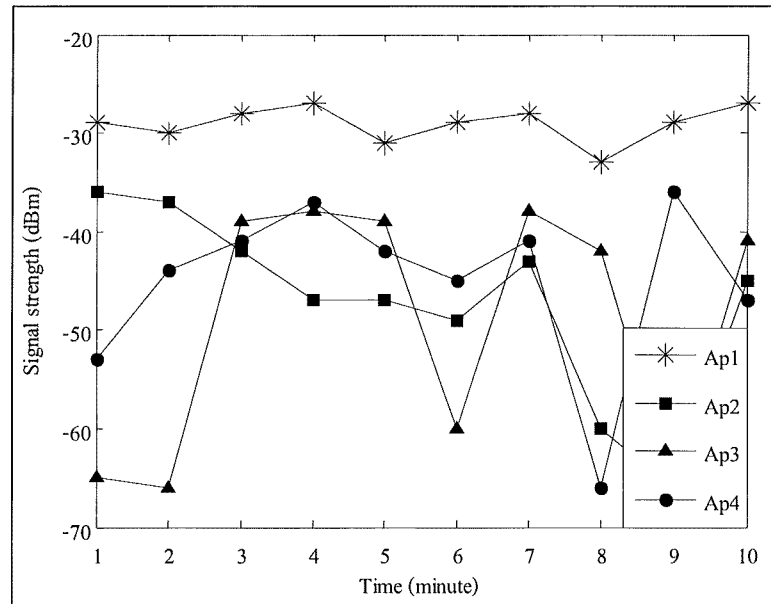
รูปที่ 5.42 อุปกรณ์ที่ถูกติดตั้งตรงกลางในเครือข่ายเมชไร้สายที่ใช้ในการทดสอบผลในงานวิจัยฉบับนี้



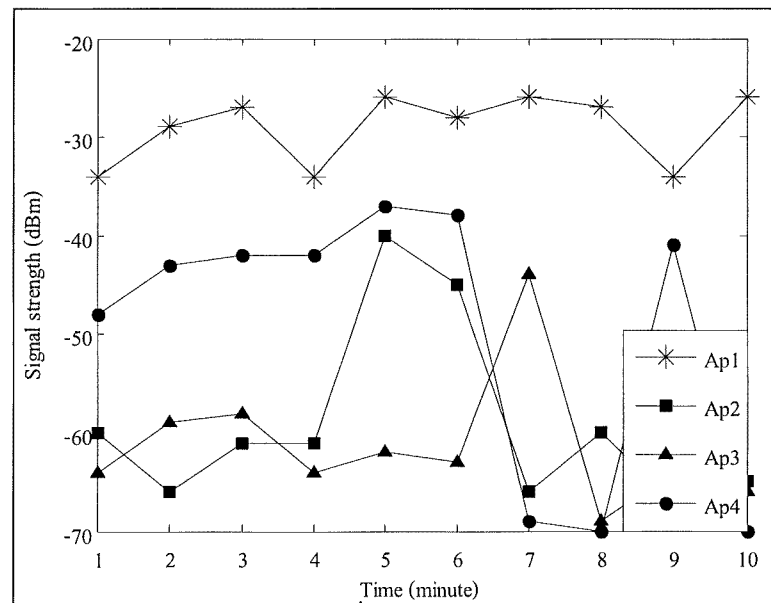
รูปที่ 5.43 ความแรงของสัญญาณที่รับได้จากจุดเข้าถึงสัญญาณทั้ง 4 ตัว โดยใช้สายอากาศแบบรอบทิศทาง

ในการวัดความแรงของสัญญาณนั้น เราจะไม่มีกรชดเชยพลังงานที่สูญเสียจากหัวต่อสายส่งสัญญาณและอุปกรณ์ร่วมสัญญาณ ดังนั้นจึงช่วยให้แน่ใจว่าระบบที่นำเสนอได้รับการทดสอบในทางปฏิบัติสำหรับการประยุกต์ใช้จริงและสามารถนำไปใช้งานในเครือข่ายเมฆไร้สายได้รูปที่ 5.43 แสดงกราฟความแรงของสัญญาณที่รับได้จากจุดเข้าถึงสัญญาณทั้ง 4 ตัว เทียบกับเวลาสำหรับระบบที่ใช้สายอากาศแบบรอบทิศทางในการวัดทดสอบ ซึ่งในการวัดแต่ละครั้งนั้นเป็นระยะเวลา 1 นาทีที่ติดต่อกัน จากรูปที่ 5.43 จะเห็นว่าค่าความแรงของสัญญาณที่สายอากาศแบบรอบทิศทางรับได้จากจุดเข้าถึงสัญญาณทั้ง 4 ตัวนั้นมีค่าที่แตกต่างกันไปจาก -36 ถึง -60 dBm และมีความแรงของสัญญาณที่รับได้จากจุดเข้าถึงสัญญาณทั้ง 4 ตัวเกือบจะเท่า ๆ กัน ในทางกลับกันผลวัดค่าความแรงของสัญญาณที่ได้จากการเปลี่ยนมาใช้สายอากาศสวิตซ์ลำคลื่นที่นำเสนอในงานวิจัยนี้แสดงดังรูปที่ 5.44 – 5.47 จากผลที่ได้พบว่าค่าความแรงของสัญญาณนั้นแบ่งออกเป็น 2 กลุ่มด้วยกัน ซึ่งจุดเข้าถึงสัญญาณในทิศทางของสัญญาณที่ต้องการคือ Ap1 และทิศทางของจุดศูนย์ คือ Ap2 Ap3 และ Ap4 และจุดเข้าถึงสัญญาณในทิศทางสัญญาณที่ต้องการนั้น สามารถรับความแรงของสัญญาณได้มากกว่าจุดเข้าถึงสัญญาณที่เป็นทิศทางของจุดศูนย์ และเป็นที่น่าสนใจว่าความแรงของสัญญาณที่ต้องการที่รับได้ในทุกกรณีนั้นมีค่าความแรงของสัญญาณที่สูงกว่าความแรงของสัญญาณที่ดีที่สุดของระบบที่ใช้สายอากาศแบบรอบทิศทาง แสดงดังรูปที่ 5.48 – 5.51 จากผลที่ได้สามารถยืนยันได้ว่าการใช้สายอากาศสวิตซ์ลำคลื่นที่มีความสามารถในการกำหนดทิศทางของจุดศูนย์นี้ สามารถเพิ่มความแรงของสัญญาณได้และในขณะเดียวกันก็สามารถลดความแรงของสัญญาณแทรกสอดได้เช่นกัน แต่ความแรงสัญญาณที่ได้นำเสนอทั้งหมดยังไม่สามารถยืนยันประสิทธิภาพของการทำงานของเครือข่ายเมฆไร้สายได้

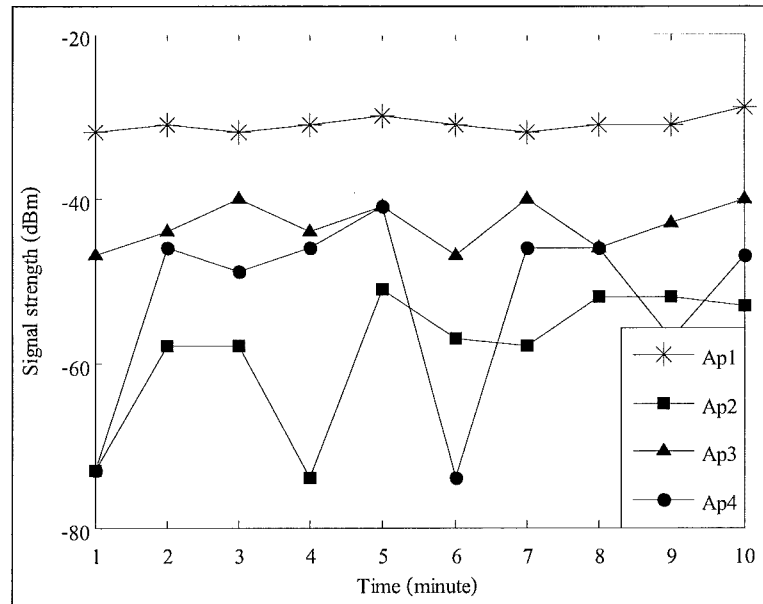
ดังนั้นเราจึงต้องทำการวัดทดสอบผลพารามิเตอร์อื่น ๆ เพื่อใช้ในการยืนยันประสิทธิภาพของการทำงานของระบบ โดยเราจะทำการวัดทดสอบเวลาที่ใช้ในการดาวน์โหลดข้อมูลและค่าวิสัยสามารถ รูปที่ 5.52 แสดงเวลาเฉลี่ยเทียบกับขนาดของไฟล์เมื่อทำการดาวน์โหลดจากรูปจะเห็นว่าสายอากาศสวิตซ์ลำคลื่นของงานวิจัยนี้ ช่วยให้ระบบทำการดาวน์โหลดไฟล์ขนาด 2 Mbps และ 6 Mbps ได้เร็วกว่าสายอากาศแบบรอบทิศทาง เนื่องจากระบบสามารถรับความแรงของสัญญาณได้มากจึงทำให้ความน่าจะเป็นที่เกิดสัญญาณขาดหายมีน้อยไปด้วย นอกจากนี้สัญญาณที่มาจากจุดเข้าถึงสัญญาณที่เราต้องการยังมีสัญญาณที่เข้ามารบกวนน้อยเนื่องมาจากจุดเข้าถึงสัญญาณอื่น



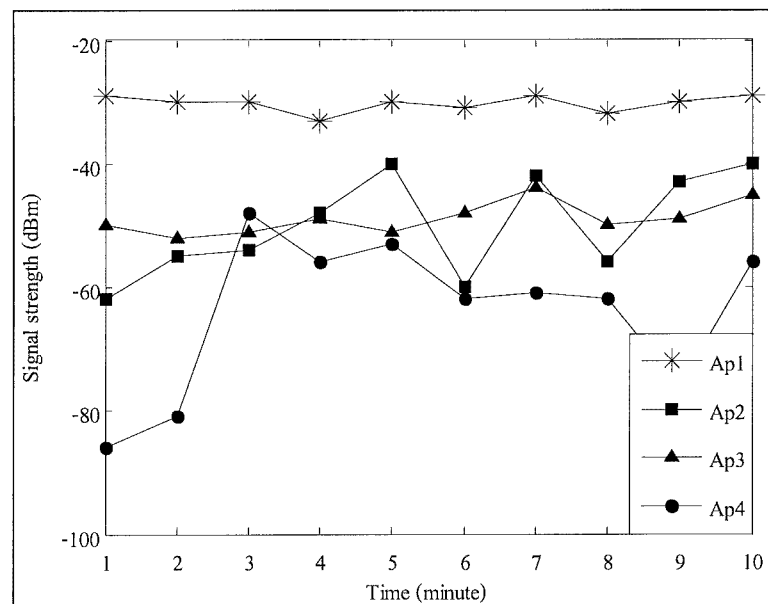
รูปที่ 5.44 ความแรงของสัญญาณที่รับได้จากจุดเข้าถึงสัญญาณทั้ง 4 ตัว โดยใช้สายอากาศสวิตซ์ลำคลื่นในทิศทางของลำคลื่นหลักที่  $45^\circ$  และกำหนดทิศทางของจุดศูนย์ในทิศทางของสัญญาณแทรกสอดที่  $135^\circ$   $225^\circ$  และ  $315^\circ$



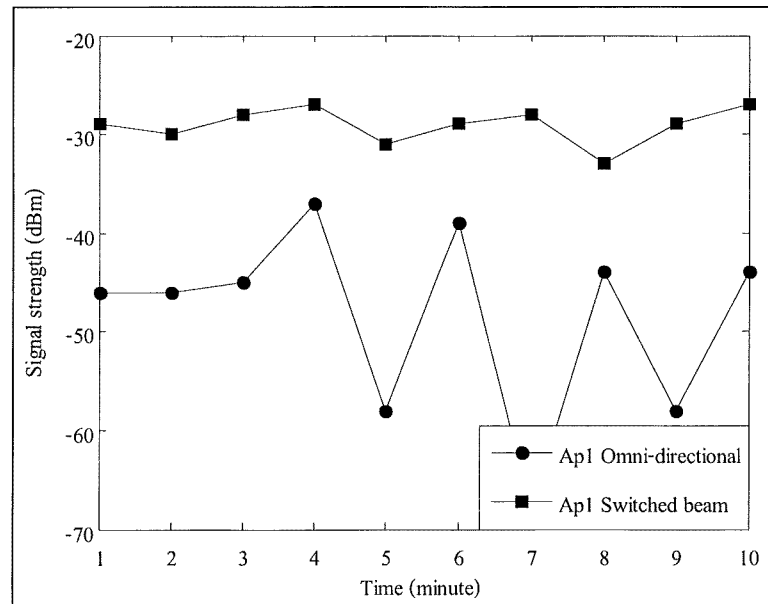
รูปที่ 5.45 ความแรงของสัญญาณที่รับได้จากจุดเข้าถึงสัญญาณทั้ง 4 ตัว โดยใช้สายอากาศสวิตซ์ลำคลื่นในทิศทางของลำคลื่นหลักที่  $135^\circ$  และกำหนดทิศทางของจุดศูนย์ในทิศทางของสัญญาณแทรกสอดที่  $45^\circ$   $225^\circ$  และ  $315^\circ$



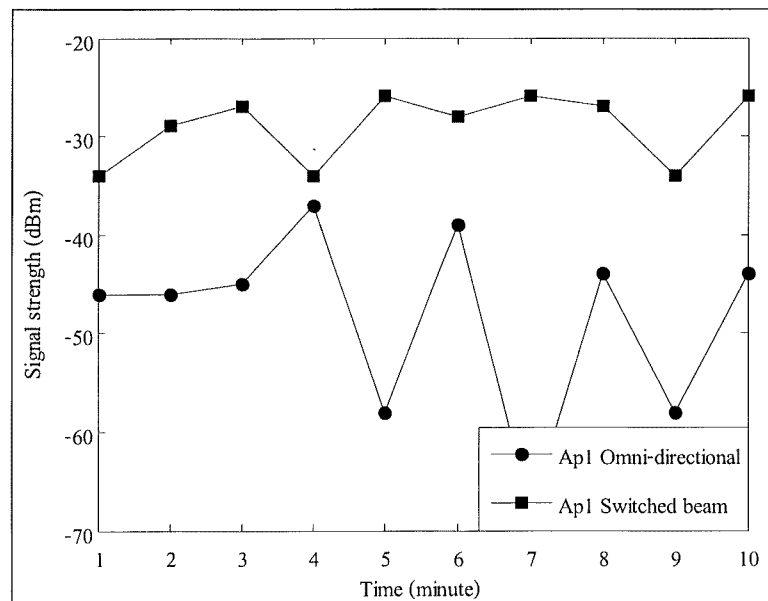
รูปที่ 5.46 ความแรงของสัญญาณที่รับได้จากจุดเข้าถึงสัญญาณทั้ง 4 ตัว โดยใช้สายอากาศสวิทช์ลำคลื่นในทิศทางของลำคลื่นหลักที่  $225^\circ$  และกำหนดทิศทางของจุดศูนย์ในทิศทางของสัญญาณแทรกสอดที่  $45^\circ$   $135^\circ$  และ  $315^\circ$



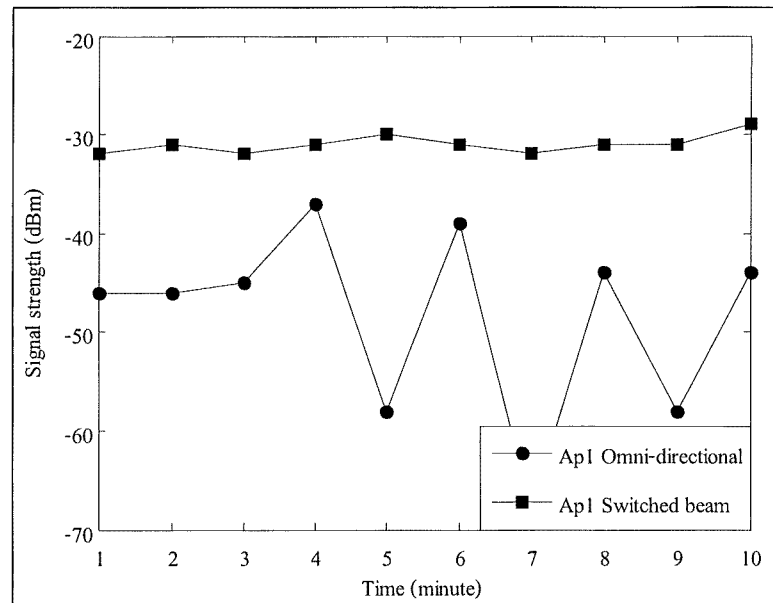
รูปที่ 5.47 ความแรงของสัญญาณที่รับได้จากจุดเข้าถึงสัญญาณทั้ง 4 ตัว โดยใช้สายอากาศสวิทช์ลำคลื่นในทิศทางของลำคลื่นหลักที่  $315^\circ$  และกำหนดทิศทางของจุดศูนย์ในทิศทางของสัญญาณแทรกสอดที่  $45^\circ$   $135^\circ$  และ  $225^\circ$



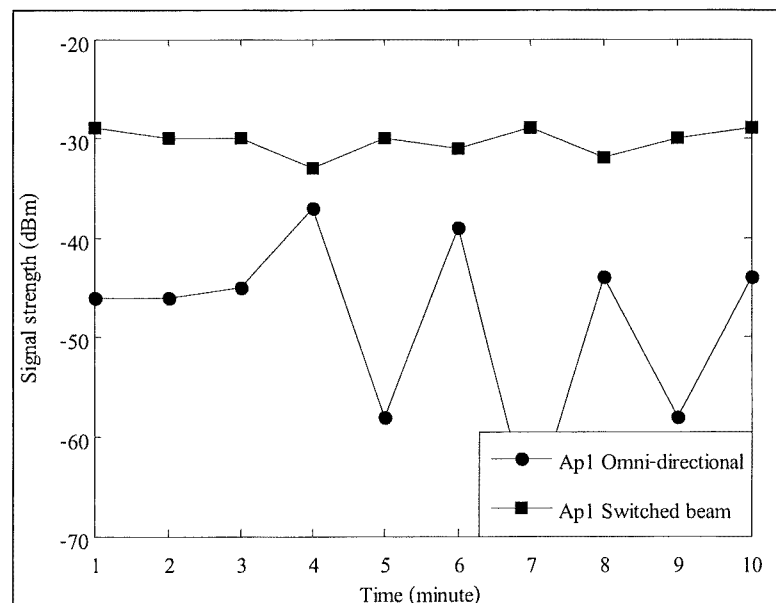
รูปที่ 5.48 ความแรงของสัญญาณที่ได้รับจากจุดเข้าถึงสัญญาณ Ap1 ที่ใช้สายอากาศแบบรอบทิศทางเทียบกับความแรงของสัญญาณที่ได้รับจากจุดเข้าถึงสัญญาณ Ap1 ที่ใช้สายอากาศสวิตซ์ลำคลื่นในทิศทางของลำคลื่นหลักที่  $45^\circ$



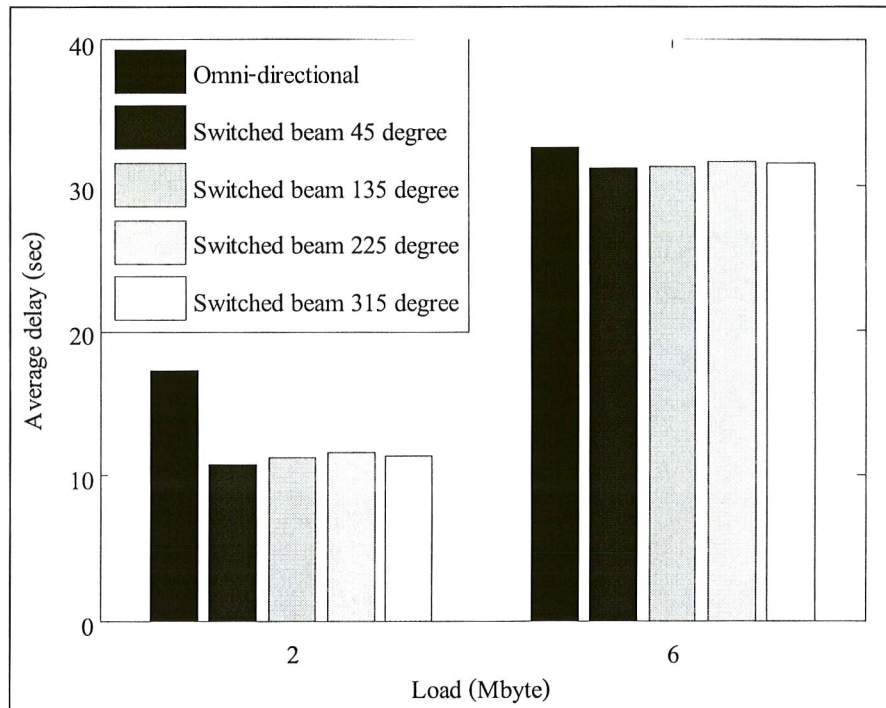
รูปที่ 5.49 ความแรงของสัญญาณที่ได้รับจากจุดเข้าถึงสัญญาณ Ap1 ที่ใช้สายอากาศแบบรอบทิศทางเทียบกับความแรงของสัญญาณที่ได้รับจากจุดเข้าถึงสัญญาณ Ap1 ที่ใช้สายอากาศสวิตซ์ลำคลื่นในทิศทางของลำคลื่นหลักที่  $135^\circ$



รูปที่ 5.50 ความแรงของสัญญาณที่ได้รับจากจุดเข้าถึงสัญญาณ Ap1 ที่ใช้สายอากาศแบบรอบทิศทางเทียบกับความแรงของสัญญาณที่ได้รับจากจุดเข้าถึงสัญญาณ Ap1 ที่ใช้สายอากาศสวิตซ์ลำคลื่นในทิศทางของลำคลื่นหลักที่  $225^\circ$

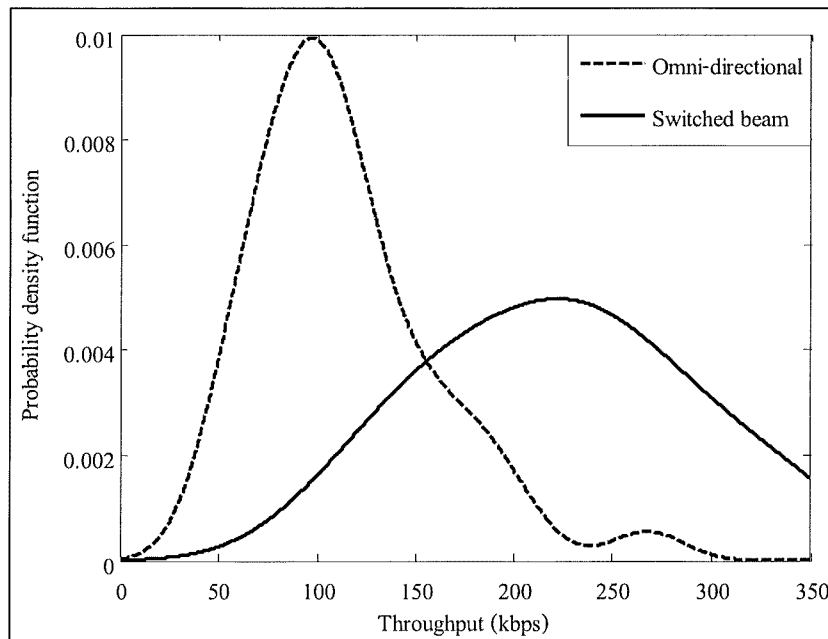


รูปที่ 5.51 ความแรงของสัญญาณที่ได้รับจากจุดเข้าถึงสัญญาณ Ap1 ที่ใช้สายอากาศแบบรอบทิศทางเทียบกับความแรงของสัญญาณที่ได้รับจากจุดเข้าถึงสัญญาณ Ap1 ที่ใช้สายอากาศสวิตซ์ลำคลื่นในทิศทางของลำคลื่นหลักที่  $315^\circ$

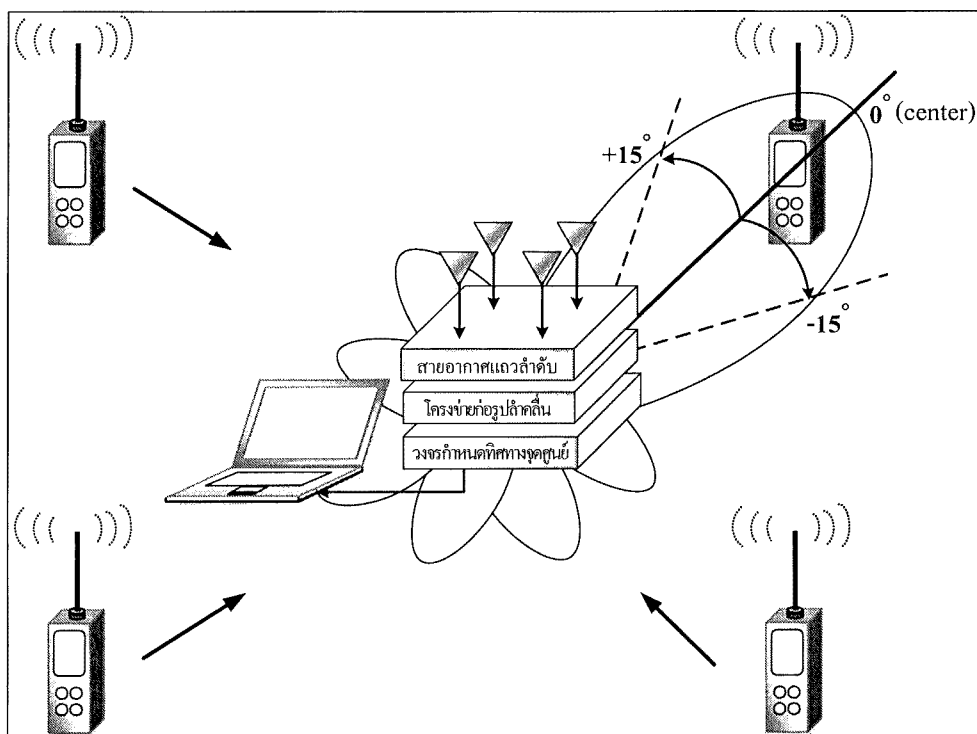


รูปที่ 5.52 เวลาเฉลี่ยที่ใช้ในการดาวน์โหลดข้อมูล โดยใช้สายอากาศแบบรอบทิศทางและสายอากาศสวิตซ์ลำคลื่นที่มีความสามารถในการกำหนดทิศทางของจุดศูนย์

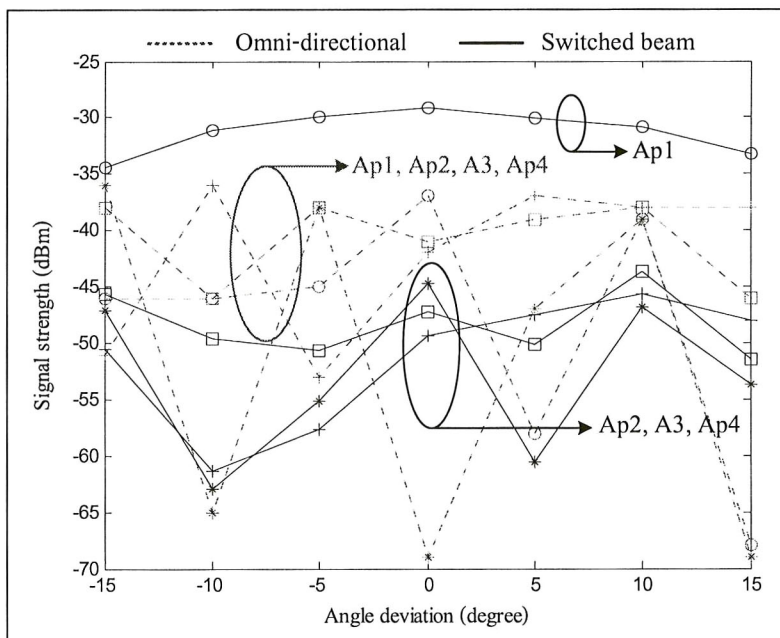
รูปที่ 5.53 แสดงฟังก์ชันความหนาแน่นความน่าจะเป็นของการวัดค่าวิสัยสามารถของสายอากาศแบบรอบทิศทางและระบบที่ใช้สายอากาศสวิตซ์ของงานวิจัยนี้ โดยทำการวัดค่าวิสัยสามารถที่ใช้สายอากาศแบบรอบทิศทางเป็นจำนวน 40 ครั้ง ครั้งละ 1 นาที ติดต่อกัน หลังจากนั้นจะทำการวัดค่าวิสัยสามารถของระบบสายอากาศสวิตซ์ลำคลื่นของงานวิจัยนี้ โดยทำการวัดค่าจำนวน 10 ครั้ง ครั้งละ 1 นาที ติดต่อกัน ซึ่งเราวัดค่าวิสัยสามารถทั้ง 4 ทิศทางของการก่อรูปลำคลื่นหลักและนำค่าที่ได้ทั้งหมดไปพล็อตกราฟความน่าจะเป็นของการเข้าใช้งานระบบ จะเห็นว่าระบบที่ใช้สายอากาศสวิตซ์ลำคลื่นที่มีความสามารถในการกำหนดทิศทางของจุดศูนย์นั้นมีค่าเฉลี่ยของความน่าจะเป็นในการเข้าใช้งานระบบเท่ากับ 200 - 250 kbps ซึ่งดีกว่าสายอากาศแบบรอบทิศทางถึง 150 kbps เนื่องจากสายอากาศแบบรอบทิศทางนั้นมีค่าเฉลี่ยของความน่าจะเป็นในการเข้าใช้งานระบบเท่ากับ 80 - 100 kbps จากผลการทดสอบจริงได้ชี้ให้เห็นว่าประสิทธิภาพของเครือข่ายเมฆไร้สายดีขึ้นเมื่อใช้งานระบบสายอากาศสวิตซ์ลำคลื่นของงานวิจัยฉบับนี้ แต่ในทางปฏิบัติตำแหน่งของเครือข่ายเมฆของจุดเข้าถึงสัญญาณอาจจะไม่ได้ติดตั้งอยู่ในตำแหน่งของลำคลื่นหลักเสมอไป ดังนั้นเราจึงต้องทำการวัดทดสอบผลโดยจะใช้โครงสร้างพื้นฐานของเครือข่ายเมฆไร้สายในขณะที่ตำแหน่งของจุดเข้าถึงสัญญาณเปลี่ยนไป ดังรูปที่ 5.54



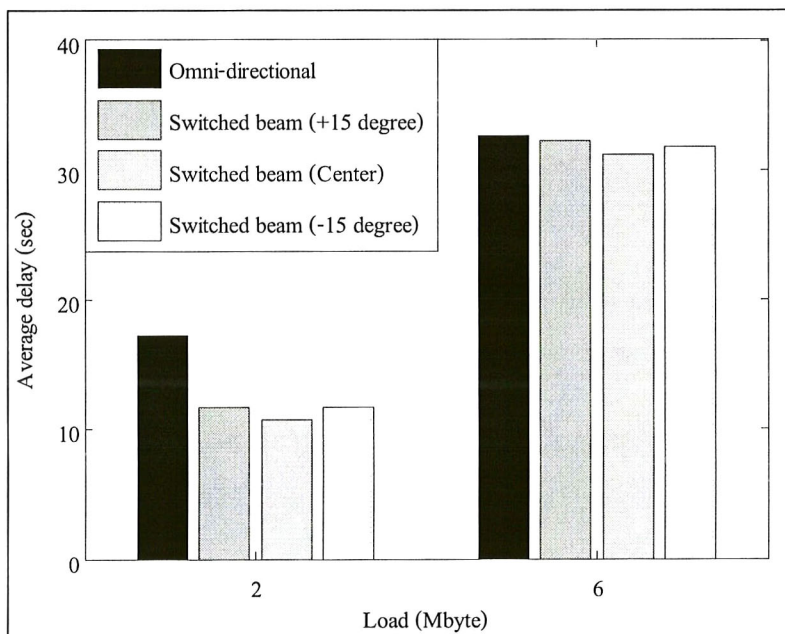
รูปที่ 5.53 ฟังก์ชันความหนาแน่นความน่าจะเป็นของการวัดค่าวิสัยสามารถ เมื่อใช้สายอากาศแบบรอบทิศทางและใช้ระบบสายอากาศสวิตซ์ลำคลื่นในงานวิจัยนี้



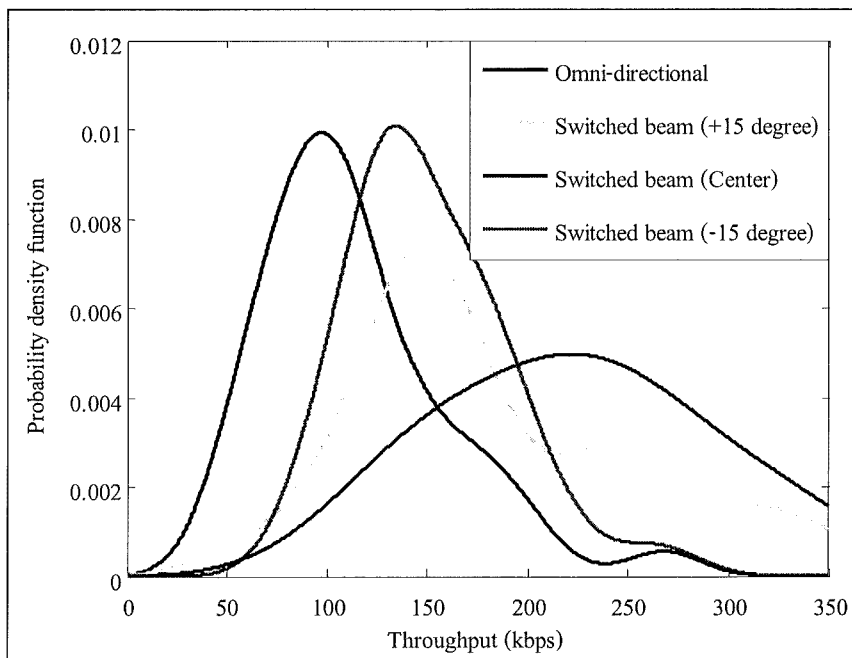
รูปที่ 5.54 รูปแบบของการทดสอบขณะที่จุดเข้าถึงสัญญาณมีการเปลี่ยนตำแหน่ง



รูปที่ 5.55 ความแรงของสัญญาณที่รับได้เทียบกับมุมที่เปลี่ยนไปของจุดเข้าถึงสัญญาณ โดยใช้สายอากาศแบบรอบทิศทางและสายอากาศสวิตซ์ลำคลื่นของงานวิจัย



รูปที่ 5.56 เวลาเฉลี่ยที่ใช้ในการดาวน์โหลดไฟล์ในขณะที่มีการเปลี่ยนตำแหน่งของจุดเข้าถึงสัญญาณ โดยใช้สายอากาศแบบรอบทิศทางและสายอากาศสวิตซ์ลำคลื่นของงานวิจัย



รูปที่ 5.57 ฟังก์ชันความหนาแน่นความน่าจะเป็นของการวัดค่าวิสัยสามารถ ในขณะที่มีการเปลี่ยนตำแหน่งของจุดเข้าถึงสัญญาณ โดยใช้สายอากาศแบบรอบทิศทาง และสายอากาศสวิตซ์ลำคลื่นของงานวิจัย

รูปที่ 5.55 แสดงความแรงของสัญญาณที่รับได้เทียบกับมุมที่มีการเปลี่ยนไปของจุดเข้าถึงสัญญาณเมื่อใช้สายอากาศแบบรอบทิศทางและระบบสายอากาศสวิตซ์ลำคลื่นที่มีความสามารถในการกำหนดทิศทางของจุดศูนย์ จากรูปเราจะเห็นว่าในขณะที่มุมเปลี่ยนไป  $+15^{\circ}$  และ  $-15^{\circ}$  ระบบสายอากาศสวิตซ์ลำคลื่นก็ยังคงให้ความแรงของสัญญาณที่จุดเข้าถึงสัญญาณที่รับได้มากกว่าสายอากาศแบบรอบทิศทาง เพื่อยืนยันประสิทธิภาพเราจึงต้องทำการวัดทดสอบผลเวลาที่ใช้ในการดาวน์โหลดไฟล์ แสดงดังรูปที่ 5.56 คือ เวลาเฉลี่ยที่ใช้ในการดาวน์โหลดเทียบกับขนาดของไฟล์ จากรูปพบว่าระบบสายอากาศสวิตซ์ลำคลื่นของงานวิจัยสามารถดาวน์โหลดไฟล์ได้เร็วกว่าสายอากาศแบบรอบทิศทางสำหรับการดาวน์โหลดไฟล์ขนาด 2 Mbps และ 6 Mbps สุดท้ายคือการวัดทดสอบค่าวิสัยสามารถของระบบได้ผลดังรูปที่ 5.57 แสดงฟังก์ชันความหนาแน่นความน่าจะเป็นของการวัดค่าวิสัยสามารถ จากผลที่ได้พบว่าสายอากาศแบบรอบทิศทางนั้นมีค่าเฉลี่ยของความน่าจะเป็นในการเข้าใช้งานระบบ 80 - 100 kbps ซึ่งจะมีค่าที่ต่ำกว่าระบบที่ใช้สายอากาศสวิตซ์ลำคลื่นของงานวิจัยนี้ในขณะที่มุมของจุดเข้าถึงสัญญาณมีการเปลี่ยนแปลงไป  $+15^{\circ}$  มีค่าเฉลี่ยของความน่าจะเป็นในการเข้าใช้ระบบ 120 - 150 kbps เมื่อจุดเข้าถึงสัญญาณที่มีการเปลี่ยนแปลงไป  $-15^{\circ}$  นั้นมีค่าเฉลี่ยของความน่าจะเป็นในการเข้าใช้ระบบที่ 140 - 160 kbps

และมีค่าเฉลี่ยของความน่าจะเป็นในการเข้าใช้ระบบ 200 - 250 kbps เมื่อจุดเข้าถึงสัญญาณ อยู่ตรงตำแหน่งของลำคลื่นหลัก จากผลการทดสอบเหล่านี้แสดงให้เห็นว่าระบบสายอากาศสวิตช์ ลำคลื่นของงานวิจัย ยังสามารถทำงานได้ดีในขณะที่จุดเข้าถึงสัญญาณไม่ได้ติดตั้งอยู่ตรงตำแหน่งของลำคลื่นหลัก

#### 5.4 กล่าวสรุป

จากการที่ได้นำเสนอผลการทดสอบจริงของชุดอุปกรณ์ที่ใช้สำหรับกำหนดทิศทางของ จุดศูนย์ จากผลที่ได้พบว่าอุปกรณ์ทั้ง 4 ชุด สามารถกำหนดทิศทางของจุดศูนย์ได้ หลังจากนั้น จึงนำไปประกอบรวมกับสายอากาศแถวลำดับและโครงข่ายก่อรูปลำคลื่นเพื่อนำไปทดสอบ ประสิทธิภาพของระบบด้วยการวัดความแรงของสัญญาณ เวลาเฉลี่ยในการดาวน์โหลดข้อมูล และค่าวิสัยสามารถ โดยนำไปเปรียบเทียบผลการทดสอบในระบบที่ใช้สายอากาศแบบ รอบทิศทาง ซึ่งผลที่ได้นั้นแสดงให้เห็นว่าระบบที่ใช้สายอากาศสวิตช์ลำคลื่นของงานวิจัยนี้ สามารถรับความแรงของสัญญาณได้ดีกว่าสายอากาศแบบรอบทิศทางรวมไปถึงเวลาเฉลี่ย ในการดาวน์โหลดข้อมูลได้เร็วกว่า และยังมีค่าวิสัยสามารถที่ดีกว่าอีกด้วย เพื่อเป็นการยืนยัน ประสิทธิภาพของระบบในงานวิจัยนี้ เราจึงได้คำนึงถึงความเป็นจริงที่ตำแหน่งของจุดเข้าถึงสัญญาณ นั้นอาจจะถูกติดตั้งอยู่ในตำแหน่งที่ไม่ตรงกับทิศทางของคลื่นหลัก เราจึงได้ทำการทดสอบผล พบว่าเมื่อจุดเข้าถึงสัญญาณมีการเปลี่ยนตำแหน่งไป  $+15^{\circ}$  และ  $-15^{\circ}$  ระบบที่ใช้สายอากาศสวิตช์ ลำคลื่นของงานวิจัยนี้ก็ยังสามารถรับความแรงของสัญญาณได้ดีเวลาเฉลี่ยในการดาวน์โหลดไฟล์และ ค่าวิสัยสามารถที่ดีกว่าระบบที่ใช้สายอากาศแบบรอบทิศทางซึ่งนั้นแสดงให้เห็นว่าระบบ ในงานวิจัยนี้สามารถนำไปใช้งานกับเครือข่ายเมชไร้สายได้เป็นอย่างดี